

INGEOMINAS

OBSERVATORIO VULCANOLOGICO DE COLOMBIA

Manizales

APARTADO AEREO 1296. TELEX 83443 (Cevul co)

Boletín Informativo

Nº 40

MAYO 1990



REPUBLICA DE COLOMBIA
MINISTERIO DE MINAS Y ENERGIA

INSTITUTO NACIONAL DE INVESTIGACIONES GEOLOGICO-MINERAS

7257
40



I N G E O M I N A S

OBSERVATORIO VULCANOLOGICO DE COLOMBIA

Dirección:
Address

Avenida 12 de Octubre No. 15-47
Manizales - Caldas - Colombia

Teléfonos: (968)
Fax No. (5768)

843004 843005 - 843007
826735

MAYO 1990

LA PRESENTE INFORMACION ES PRELIMINAR, CONFIDENCIAL Y SUJETA A MODIFICACIONES, POR LO TANTO DEBE SOLICITARSE AUTORIZACION ESCRITA AL O.V.C. ANTES DE CITARSE ALGUNA PUBLICACION.

-4-

MANIZALES, COLOMBIA

SISMOLOGIA

ACTIVIDAD SISMICA DEL VOLCAN NEVADO DEL RUIZ

MAYO DE 1990

RESUMEN

La actividad sísmica durante el mes de mayo experimentó un incremento con respecto a la del mes anterior, siendo particularmente notorio en cuanto a los sismos de alta frecuencia. Del mismo modo la energía liberada por los sismos de alta frecuencia mostró un aumento notorio, mientras que la liberada por sismos de baja frecuencia, no mostró variaciones significativas. Los eventos sísmicos de alta frecuencia localizados mostraron dos fuentes principales, ubicadas al Noreste y al Suroeste del cráter Arenas.

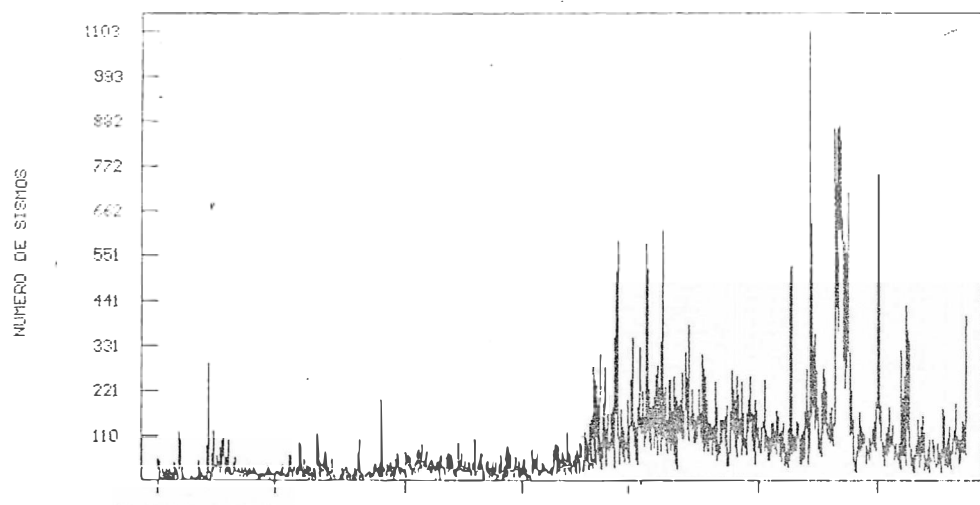
NUMERO DE EVENTOS SISMICOS

Durante este mes se incrementó en general la actividad sísmica, comparada con la del pasado mes de abril. Los eventos de alta frecuencia experimentaron un marcado aumento alcanzando a registrarse un total de 1.326 sismos durante el mes. De baja frecuencia se registraron 1.982 sismos los cuales representan un ascenso moderado con respecto al mes anterior. La actividad sísmica superficial estuvo casi ausente, habiéndose registrado sólamente 1 sismo el día 15. Particularmente el día de mayor intensidad en la actividad sísmica fue el 31, cuando hubo enjambres tanto de alta como de baja frecuencia, registrándose en total 247 y 156 sismos respectivamente (Ver Fig. 3).

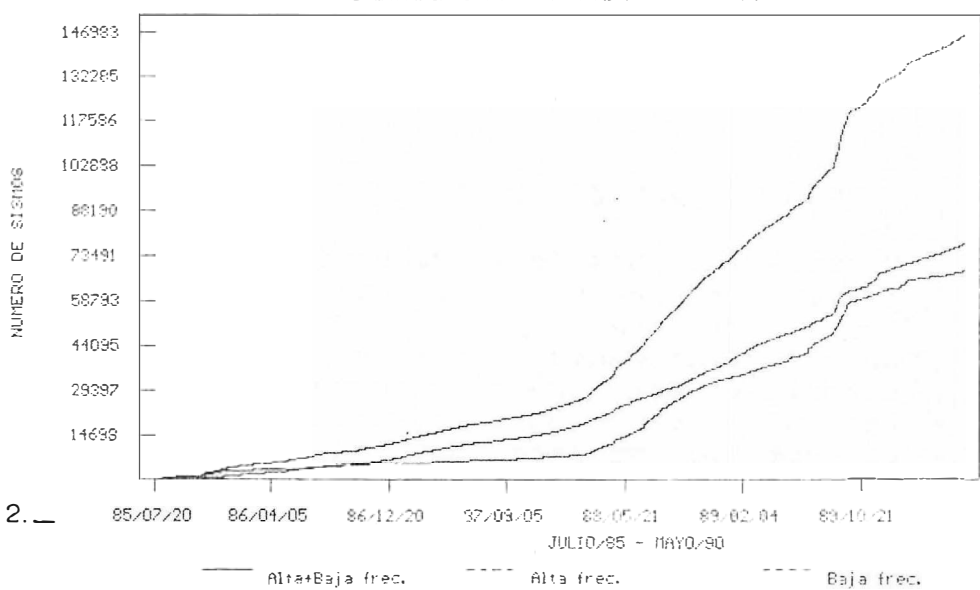
ENERGIA LIBERADA

La energía liberada debido a la actividad sísmica de baja frecuencia, no presentó variaciones importantes con respecto a la del mes anterior, mientras que la liberada por los eventos sísmicos de alta frecuencia, mostró un marcado incremento. La mayor energía liberada a lo largo del mes, se presentó el día 10, llegando a alcanzar niveles muy altos tanto para los sismos de alta como para los de baja frecuencia (Ver Figuras 4,5 y 6)

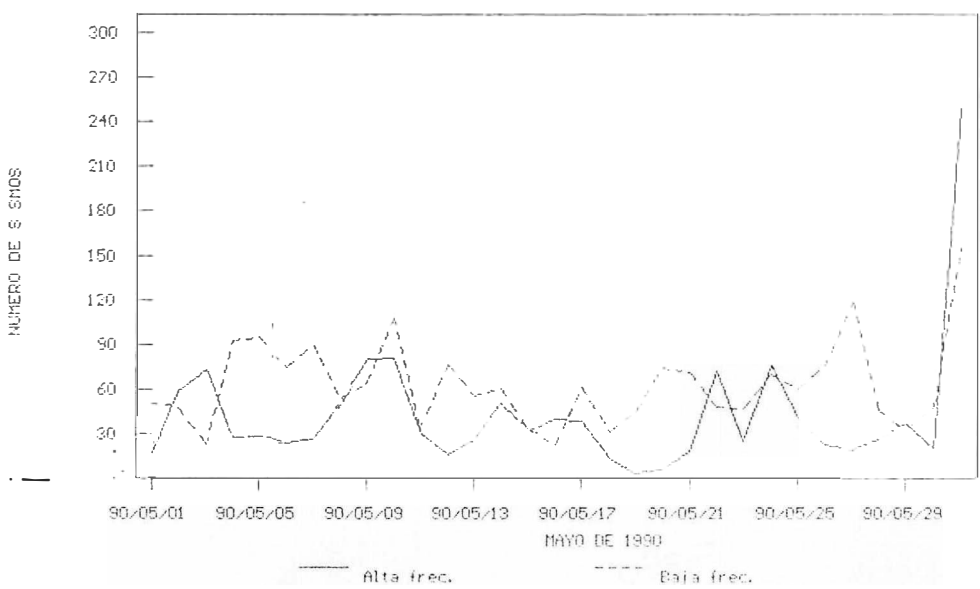
SISMOS DIARIOS ALTA + BAJA FREC.



SISMOS DIARIOS ACUMULADOS



SISMOS DIARIOS ALTA Y BAJA FREC.



ENERGIA LIBERADA DIARIA ALTA Y BAJA FREC. DAILY ENERGY RELEASE (H.F & L.F)

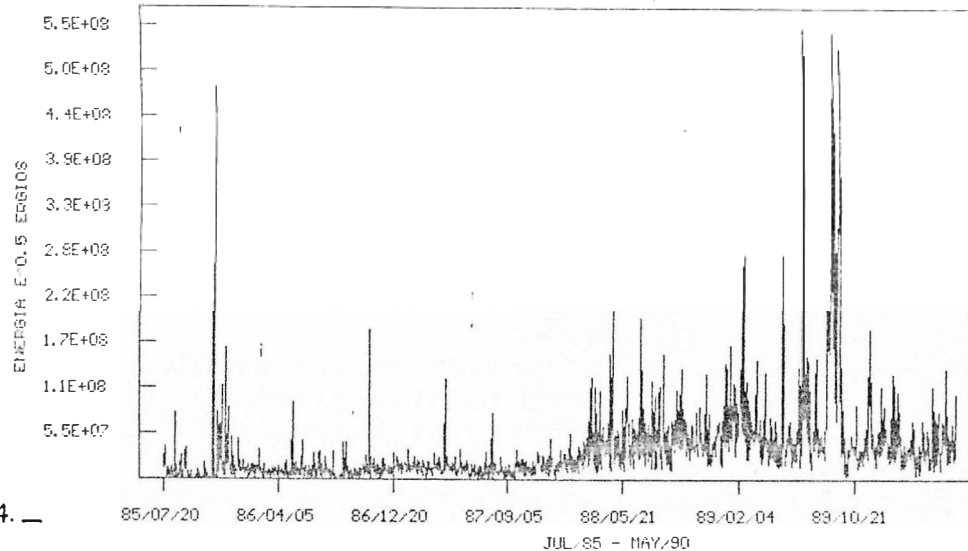


FIG. 4. — 85/07/20 86/04/05 86/12/20 87/09/05 88/05/21 88/02/04 89/10/21
JUL/85 - MAY/90

ENERGIA LIBERADA ACUMULADA

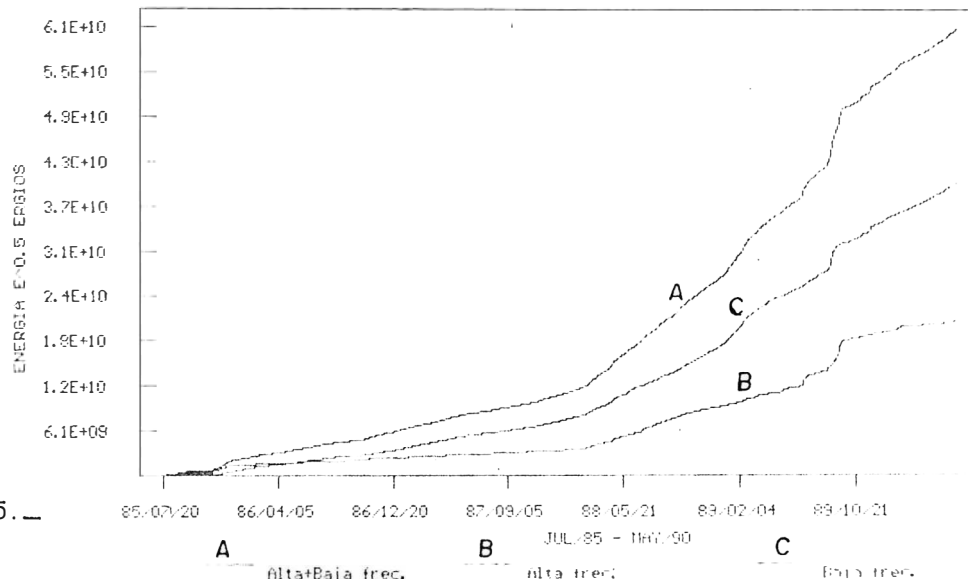


FIG. 5. — 85/07/20 86/04/05 86/12/20 87/09/05 88/05/21 88/02/04 89/10/21
JUL/85 - MAY/90

A Alta+Baja freq. B Alta freq. C Baja freq.

ENERGIA DIARIA ALTA Y BAJA FREC.

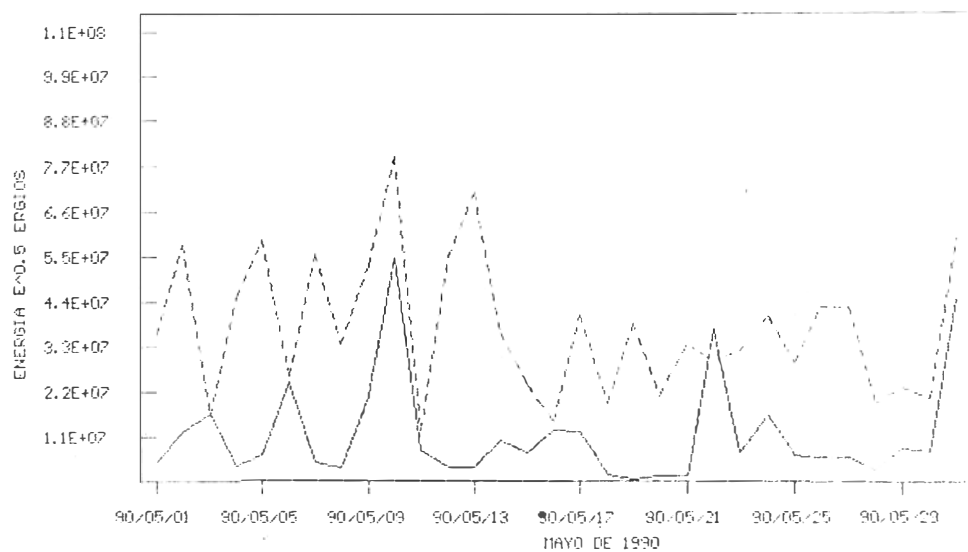


FIG. 6. — — Alta freq. - - - Baja freq.

MAYO DE 1990

LOCALIZACION DE SISMOS DE ALTA FRECUENCIA

Las localizaciones epicentrales de los eventos de alta frecuencia, mostraron tres fuentes sísmicas principales, ubicadas, una al Noreste ,otra al Suroeste del cráter Arenas, ambas alineadas la falla de Palestina y la tercera en el cráter. Los hipocentro se localizaron en un rango de profundidad comprendido entre 0.5 y 4.5 Km (Ver Figuras 7, 8 y tabla de localizaciones).

TREMOR

La señal de tremor se presento durante casi todo el mes en forma de pulsos, siendo los mas importantes los presentados los días 12, 14 y 22 de Mayo que alcanzaron desplazamientos reducidos de 3.20, 2.85, y 3.05 centimetros cuadrados respectivamente sin embargo estos valores no superaron los niveles moderados de intensidad (figura 10). La mayoría de estos pulsos estuvieron asociados a pequeñas emisiones de ceniza.

Los periodos dominantes oscilaron entre 0.1 y 0.5 segundos y algunos alcanzaron hasta 1 segundo (figura 11). Durante el mes también se presentaron algunos pulsos de tremor con niveles bajos en intensidad pero importantes porque su origen fue más profundo que el asociado a las emisiones de ceniza (mayor de 1 Km). Probablemente esté correlacionado a reacomodamiento de gases.

La duración de los pulsos osciló entre 5 y 15 minutos a excepción, de los días 13, 14 y 15 de Mayo que fue continuo (figura 12).

GRUPO DE SISMOLOGIA O.V.C.

Alvaro Pablo Acevedo
Jairo Patiño
Alvaro Nieto
John Makario Londoño
Olga Patricia Bohorquez

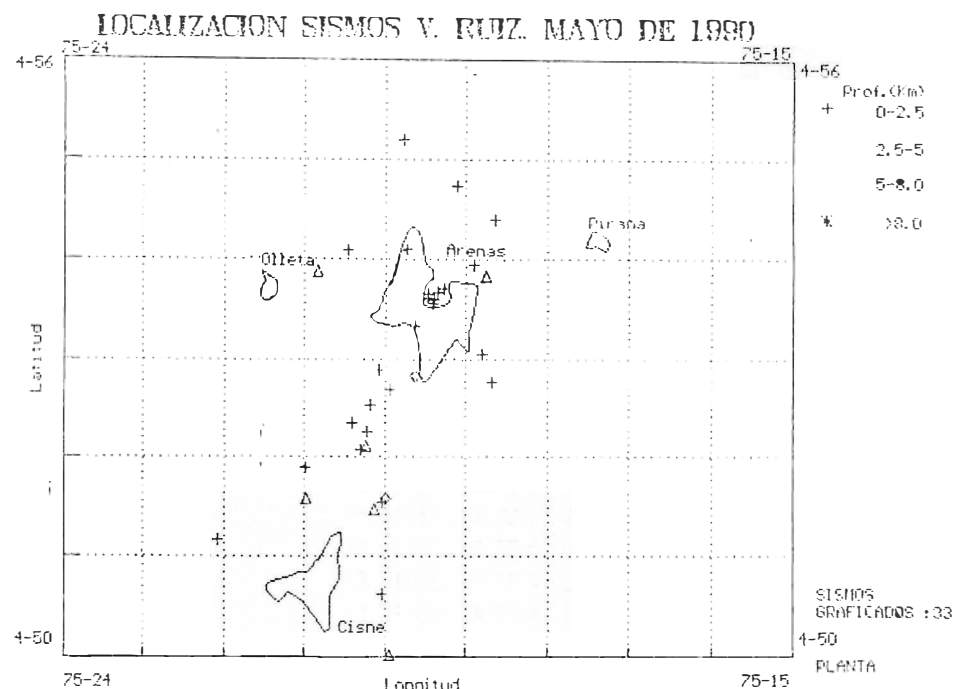


FIG. 7.

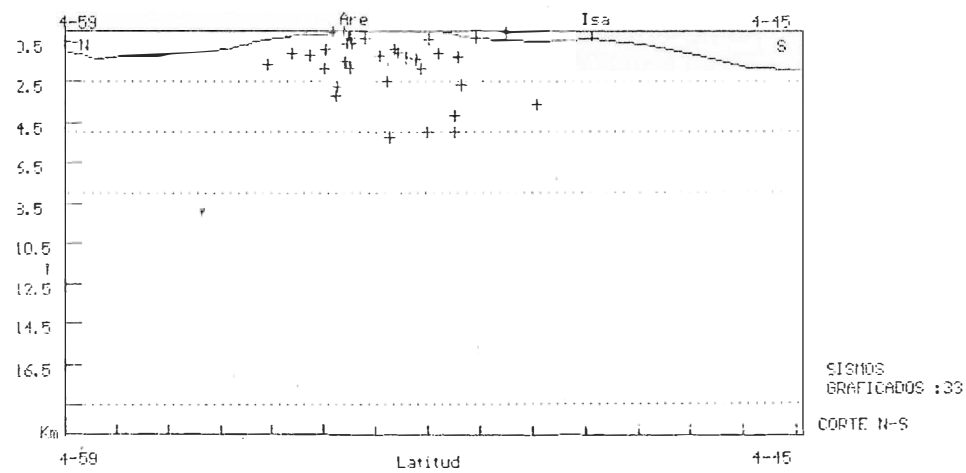


FIG. 8.

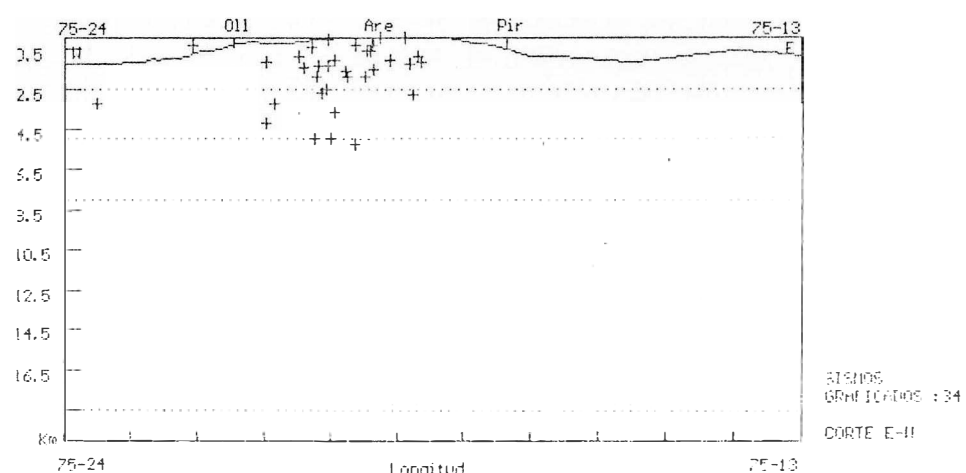


FIG. 9.

TABLA DE LOCALIZACION DE SISMOS V. RUIZ, MAYO DE 1990

DATE	ORIGIN	LAT N	LONG W	DEPTH	MAG NO	GAP	DMIN	RMS	ERH	ERZ	CM
900501	1251	1.86	4-52.75	75-19.59	0.88	0.80	12 148	1.6 0.06	0.5	0.5	B1 TD=1
900503	859	52.08	4-51.17	75-22.08	0.38	0.75	4 293	5.5 0.20		C1	TD=5
900503	1511	31.14	4-53.71	75-19.26	0.01	1.06	8 119	2.0 0.04	0.1	0.3	B1 TD=1
900503	1523	48.55	4-53.33	75-19.63	0.38	0.90	7 159	1.5 0.09	0.8	0.7	B1 TD=0
900503	1745	30.89	4-53.60	75-19.38	0.37	0.89	11 139	2.9 0.11	0.6	0.7	B1 TD=3
900503	1746	56.46	4-53.56	75-19.41	0.59	0.85	12 142	2.9 0.11	1.3	0.4	B1 TD=10
900503	1748	52.05	4-53.61	75-19.47	1.87	1.00	8 131	1.7 0.06	0.4	0.4	B1 TD=10
900506	5 0	35.03	4-59.43	75-23.51	3.16	2.49	6 299	5.3 0.04	2.1	1.1	C1
900509	333	12.03	4-53.68	75-19.35	1.55	-0.21	5 136	1.9 0.04	0.5	2.2	C1 TD=5
900511	6 4	31.21	4-54.09	75-19.74	1.88	0.31	6 142	1.4 0.06	0.7	0.5	B1 TD=10
900511	851	45.36	4-53.04	75-18.81	1.74	1.51	7 141	2.2 0.06	0.4	0.7	B1 TD=0
900511	1414	57.43	4-53.84	75-19.76	2.75	0.55	9 100	3.0 0.07	0.3	1.6	B1
900522	1748	33.24	4-50.63	75-20.04	0.08	3.66	6 197	6.6 0.03	0.4	1.6	C1 TD=5
900522	1923	26.30	4-50.01	75-19.95	3.66	2.89	7 209	7.8 0.09	0.7	0.6	C1 TD=5
900524	615	11.35	4-52.68	75-19.94	1.07	0.47	6 201	3.2 0.05	0.5	0.6	C1
900524	634	33.36	4-52.53	75-20.18	1.31	1.00	7 114	3.2 0.07	0.4	0.6	B1
900524	636	8.54	4-52.26	75-20.22	1.83	0.82	6 222	3.6 0.05	0.9	0.5	C1
900524	934	46.80	4-52.83	75-19.63	5.21	0.25	9 109	7.0 0.08	0.5	0.7	B1
900525	15.4	30.75	4-53.87	75-20.85	3.20	1.99	4 277	6.5 0.02		C1	TD=5
900526	0 3	43.67	4-51.89	75-20.38	1.16	1.01	6 271	3.5 0.03	0.7	0.6	C1 TD=5
900526	521	27.98	4-52.34	75-20.41	1.38	0.82	7 262	2.4 0.10	1.1	0.8	C1 TD=5
900528	616	49.40	4-54.08	75-20.47	0.95	1.74	5 138	0.8 0.04	0.9	0.5	C1 TD=5
900529	5 2	19.22	4-54.38	75-18.64	1.20	1.79	7 155	2.9 0.06	0.4	0.9	B1
900529	2052	36.60	4-53.94	75-19.90	0.02	1.89	9 86	2.8 0.19	0.5	1.2	B1
900530	523	2.98	4-55.20	75-19.78	1.64	2.49	9 109	2.8 0.05	0.2	0.2	B1
900530	634	1.53	4-54.72	75-19.10	1.07	2.05	6 132	3.0 0.17	0.5	1.2	B1
900531	716	19.74	4-53.66	75-19.46	0.65	0.44	7 126	1.7 0.09	0.5	0.6	B1
900531	1154	22.03	4-51.54	75-20.03	1.70	1.81	10 152	3.4 0.10	0.4	0.7	B1
900531	1538	55.41	4-52.12	75-20.73	5.01	2.30	10 128	2.8 0.19	1.2	1.8	B1
900531	1627	49.60	4-51.46	75-20.17	2.65	2.09	8 153	3.6 0.06	0.5	1.7	C1
900531	1819	54.25	4-51.55	75-20.00	5.02	3.38	9 151	3.3 0.09	1.4	1.1	B1
900531	1835	6.40	4-52.08	75-20.29	0.43	3.26	7 129	2.9 0.13	0.9	1.0	B1
900531	2111	28.67	4-52.88	75-20.07	2.45	3.40	9 107	1.5 0.09	0.5	1.3	P1
900531	2120	11.16	4-51.53	75-20.98	4.22	3.35	10 157	4.0 0.05	0.7	0.7	B1

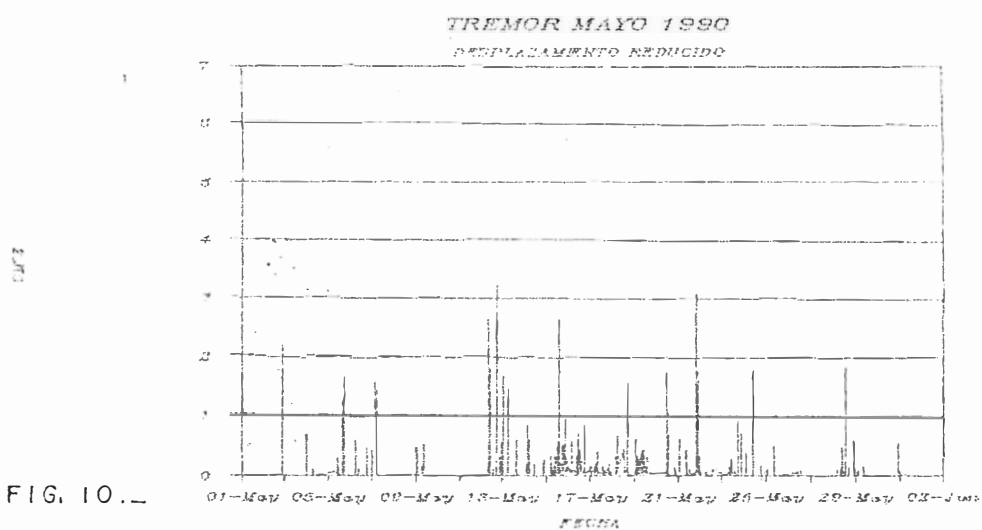


FIG. 10. —

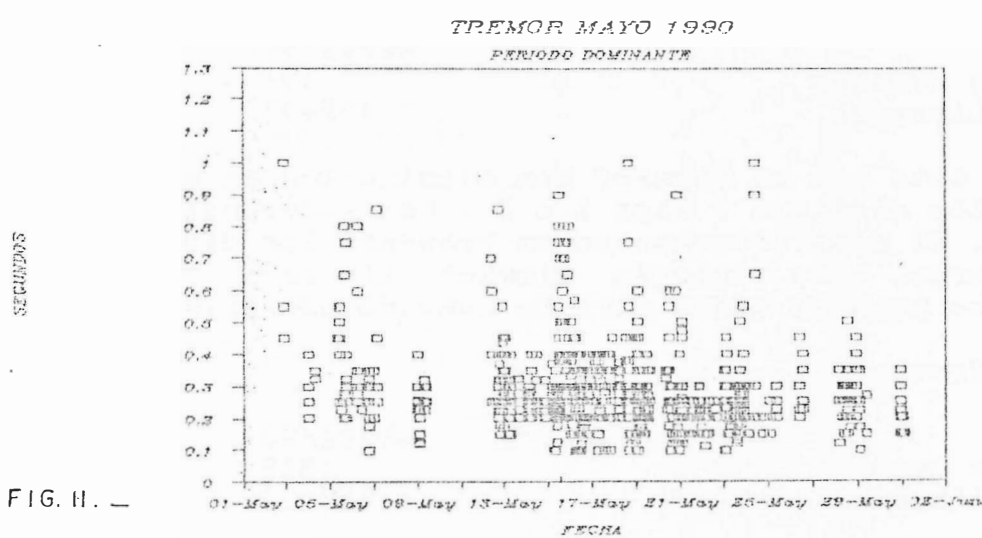


FIG. H. —

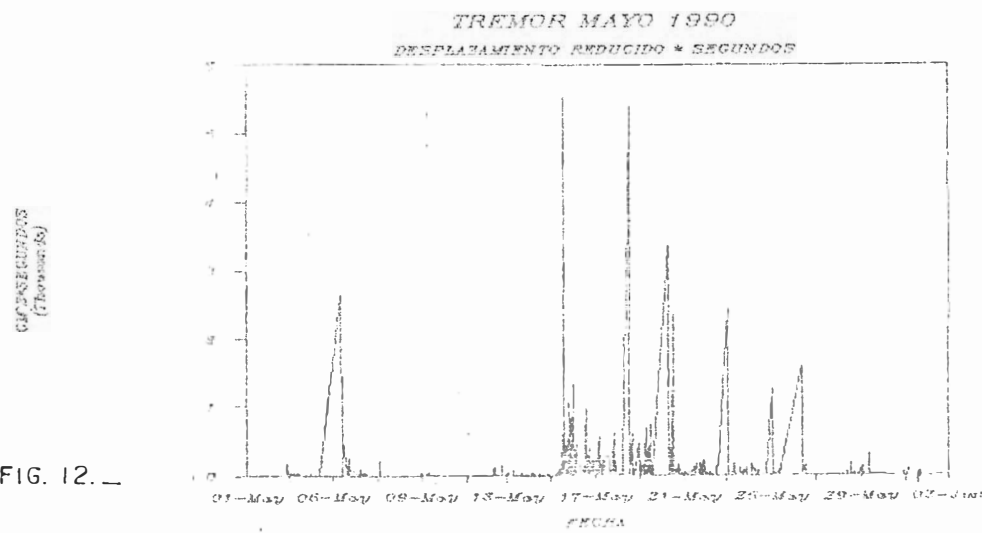


FIG. 12. —

SISMOLOGIA
MAYO DE 1990
ACTIVIDAD SISMICA DEL VOLCAN GALERAS

NUMERO Y ENERGIA DE EVENTOS SISMICOS

1. Alta frecuencia

	abril/90	Mayo/90
Numero de eventos	154	121
Energia Liberada	7.49E+07	1.06E+08

Durante este mes se observó una disminución en el número de eventos sísmicos (Figs 1 a 3) con referencia al mes anterior. El mayor incremento se presentó los días 4 y 5. Sin embargo, la energía sísmica liberada mostró un incremento para el mismo período considerado (Figs 4 a 6).

2. Baja frecuencia

	abril/90	Mayo/90
Numero de eventos	1343	556
Energia Liberada	1.48E+09	1.92E+09

La disminución en el número de eventos (Figs 1 a 3) y el incremento en la energía liberada (Figs 4 a 6) con relación al mes inmediatamente anterior, son los patrones caracteristicos de este período.

3. Eventos de largo período

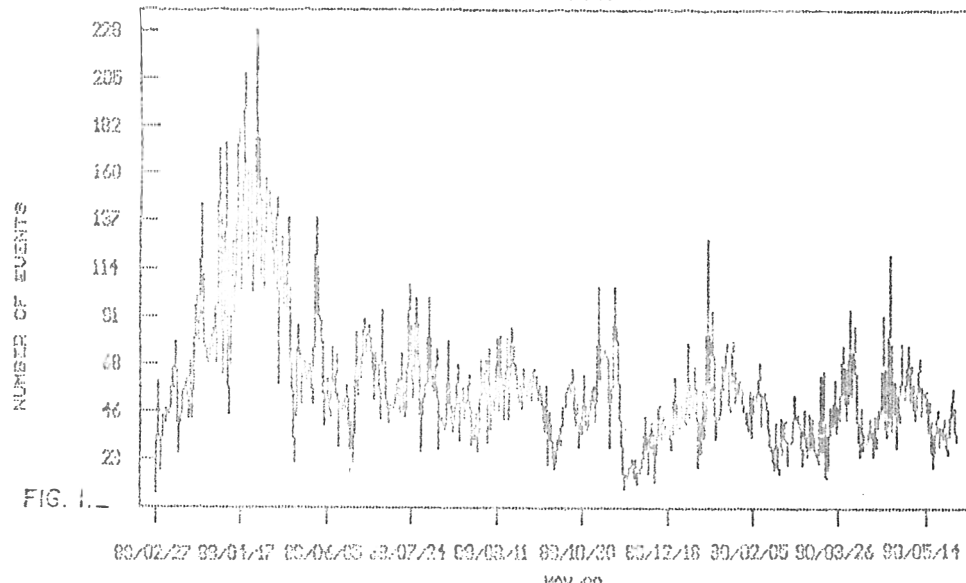
	abril/90	Mayo/90
Numero de eventos	682	765
Energia Liberada	1.03E+09	1.40E+09

El numero de eventos de este tipo presentó un ligero incremento a comienzos del mes y fue disminuyendo paulatinamente para finales de mes (Fig 7). Los períodos dominantes oscilaron entre 0.25 y 1.0 seg. (Fig 8). Los valores de desplazamiento reducido se pueden observar en la fig 9.

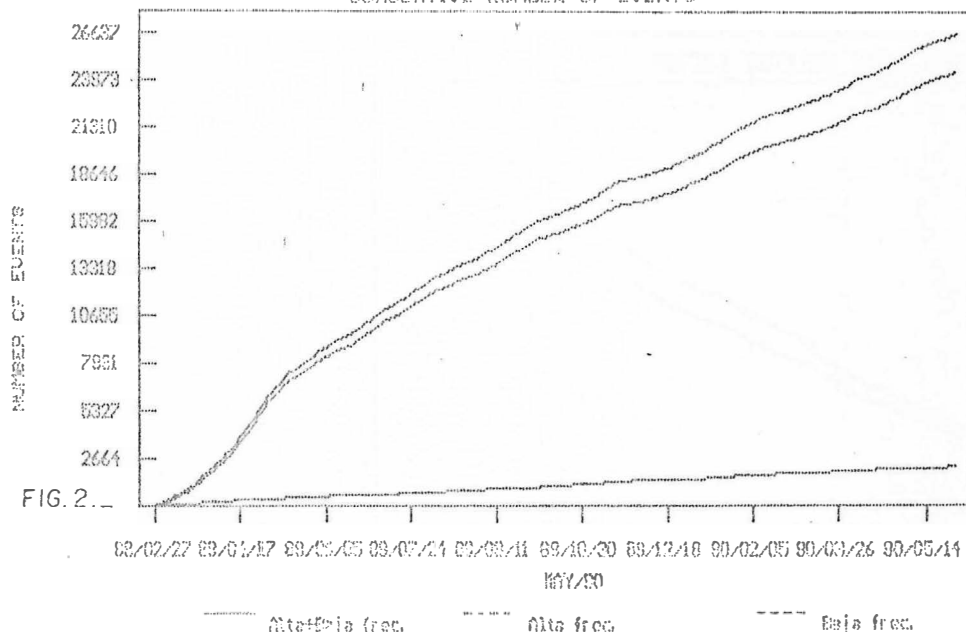
LOCALIZACION DE SISMOS DE ALTA FRECUENCIA

De un total de 121 eventos registrados durante este mes, fueron localizados 67, los cuales se concentraron principalmente al W del cráter activo (fig 10), con

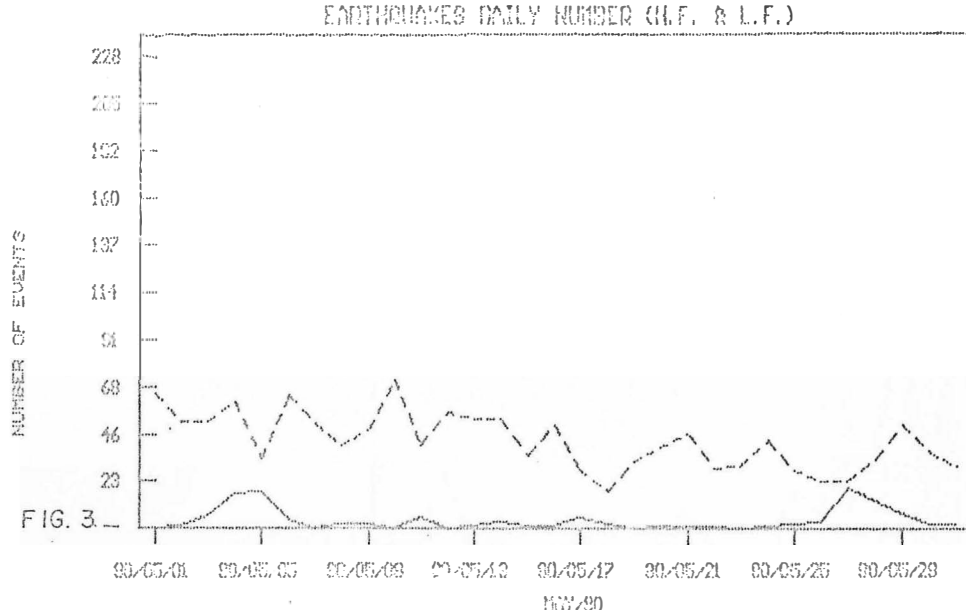
EARTHQUAKES DAILY NUMBER



SISMOS DIARIOS ACUMULADOS ALTA Y BAJA FRECUENCIA
CUMULATIVE NUMBER OF EVENTS



SISMOS DIARIOS DE ALTA Y BAJA FRECUENCIA



ENERGIA LIBERADA DIARIA ALTA Y BAJA FRECUENCIA

DAILY ENERGY RELEASE (H.F. & L.F.)

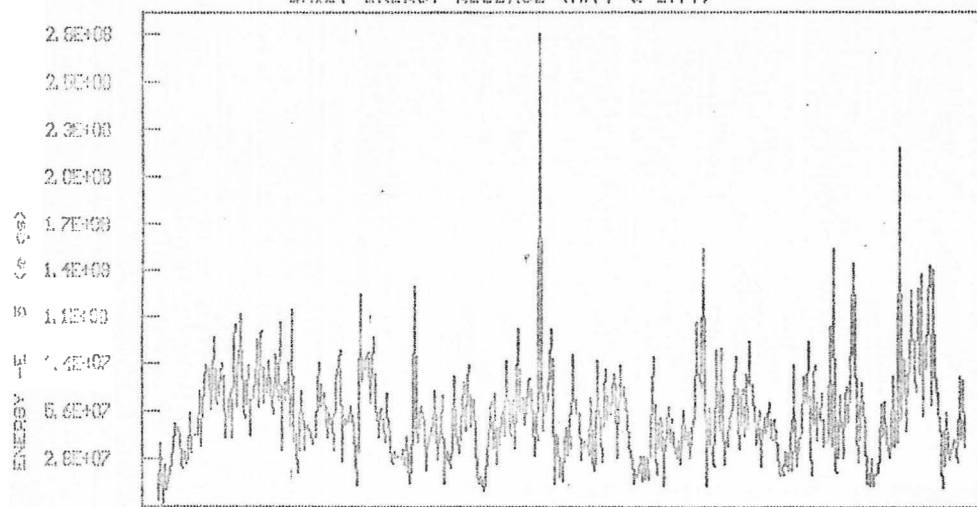


FIG. 4. — 09/02/27 09/04/17 09/06/05 09/07/24 09/09/11 09/10/30 09/12/19 09/02/05 09/03/26 09/05/14

ENERGIA LIBERADA ACUMULADA

CUMULATIVE RELEASE ENERGY

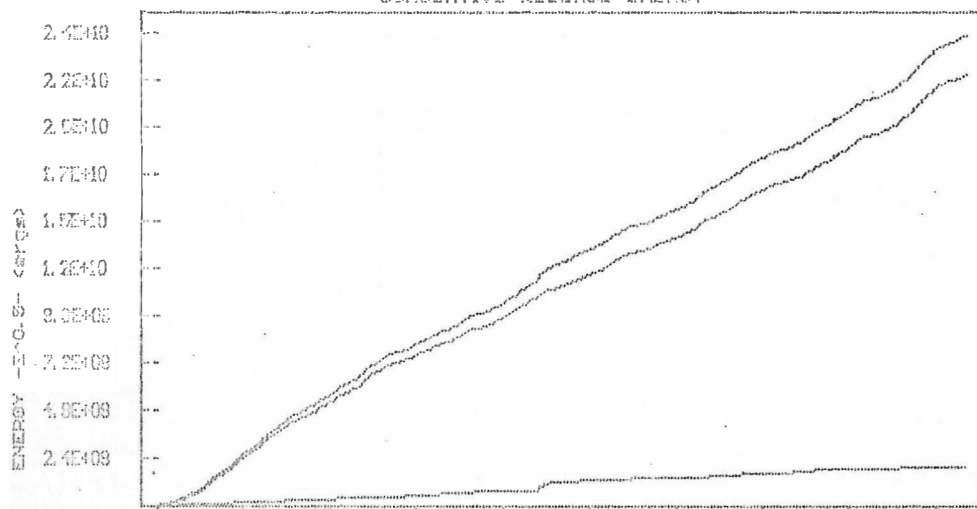
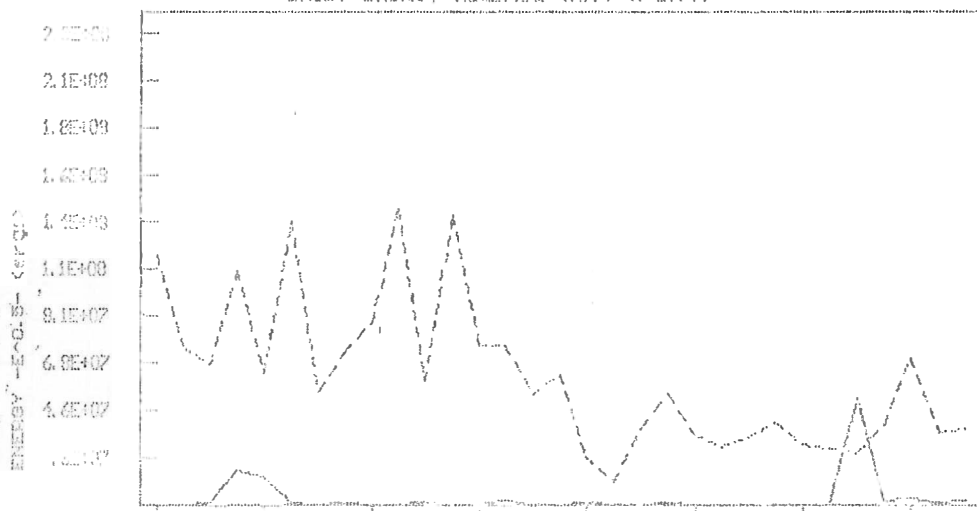


FIG. 5. — 09/02/27 09/04/17 09/06/05 09/07/24 09/09/11 09/10/30 09/12/19 09/02/05 09/03/26 09/05/14

— Alta-Baja freq. - - - Alta freq. ····· Baja freq.

ENERGIA LIBERADA DIARIA ALTA Y BAJA FRECUENCIA

DAILY ENERGY RELEASE (H.F. & L.F.)



LARGO PERÍODO — VOLCÁN GALERAS

NÚMERO DE EVENTOS — MAY-80

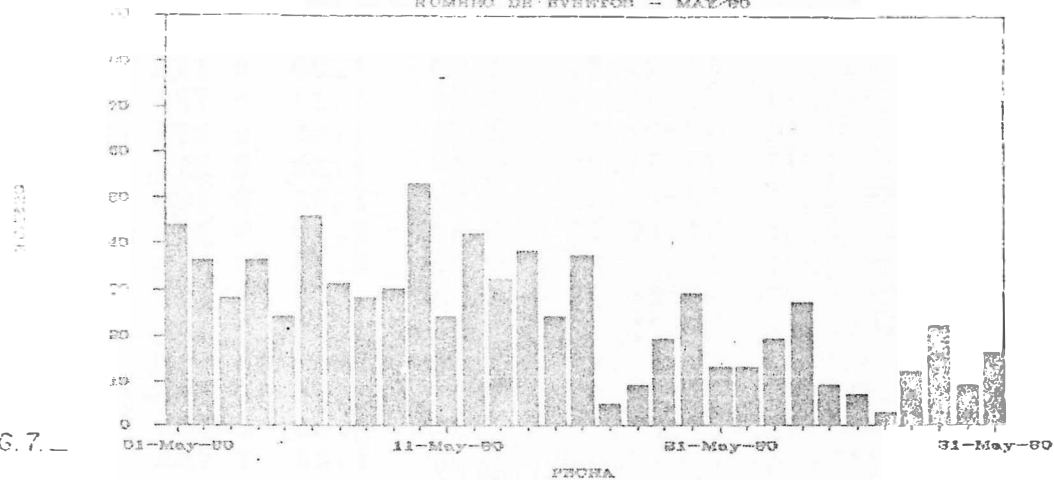


FIG. 7.

LARGO PERÍODO — VOLCÁN GALERAS

PERÍODOS DOMINANTES — MAY-80

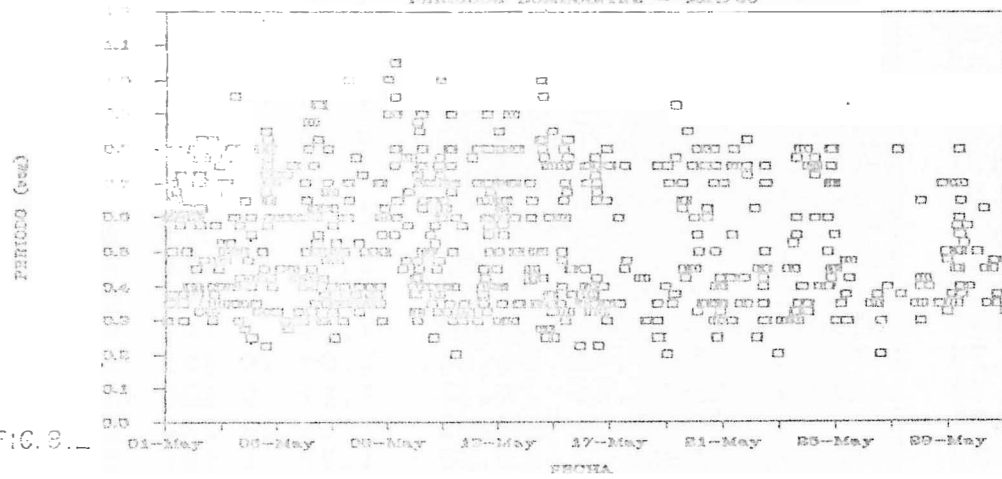


FIG. 8.

LARGO PERÍODO — VOLCÁN GALERAS

DIFUSORIO ORACIONAL — MAY-80

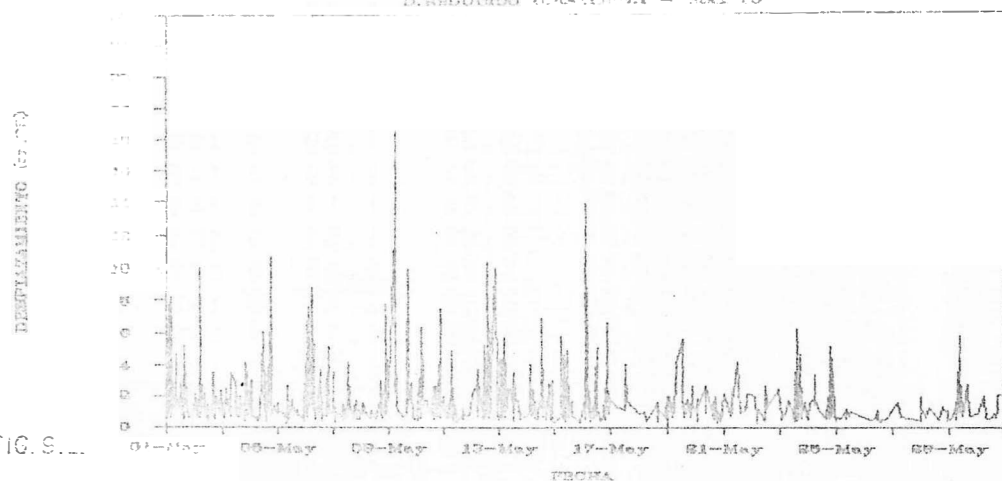


FIG. 9.

TABLA 1. DATOS DE LOCALIZACION DE SISMOS DE ALTA FRECUENCIA
VOLCAN GALERAS - MAYO DE 1990

DATE	ORIGIN	LAT N	LONG W	DEPTH	MAG	NO	GAP	DMIN	RMS	ERH	ERZ	QN
900501	1815	32.00	1-12.74	77-21.31	1.49	1.20	8	148	0.8	0.14	0.5	0.6 B1
900502	1634	30.81	1-13.21	77-21.18	1.57	1.21	6	201	1.1	0.03	0.2	0.2 C1
900503	16 5	31.01	1-13.18	77-21.23	2.70	1.45	8	278	2.3	0.06	0.4	0.4 C1
900503	17 51	31.01	1-10.17	77-21.39	2.17	1.39	8	272	2.4	0.11	0.7	1.0 C
900503	2313	25.30	1-12.27	77-22.91	4.25	1.31	9	166	2.3	0.06	0.3	0.4 B1
900504	714	6.19	1- 2.85	77-13.07	4.46	2.19	9	333	16.5	0.12	1.9	0.6 C1
900504	714	6.27	1- 2.04	77-13.17	4.36	2.19	10	333	16.2	0.15	2.2	0.7 C1
900504	13 0	13.12	1-13.20	77-23.19	3.73	1.46	9	137	2.9	0.06	0.3	0.4 B1
900504	19 7	34.75	1-13.43	77-23.12	4.23	1.08	7	194	3.0	0.03	0.4	0.3 C1
900504	21 9	11.61	1-13.73	77-22.94	3.18	2.05	10	123	3.0	0.10	0.3	0.7 B1
900504	21 9	11.53	1-13.73	77-22.89	3.31	2.05	10	122	3.0	0.09	0.3	0.5 B1
900504	2115	11.70	1-13.27	77-23.11	3.69	0.54	8	188	2.8	0.13	1.0	0.9 C1
900504	2121	5.24	1-13.10	77-22.44	3.81	1.23	7	134	1.7	0.05	0.4	0.4 C1
900504	2125	48.46	1-12.74	77-23.13	3.75	1.21	8	168	2.6	0.03	0.6	0.6 B1
900504	2135	24.64	1-13.27	77-23.10	3.40	1.30	8	128	2.8	0.25	1.7	1.7 C1
900504	2135	24.53	1-13.27	77-23.14	3.76	1.30	7	183	2.9	0.08	1.1	0.7 C1
900504	2257	1.33	1-13.30	77-23.31	2.25	1.03	8	132	3.2	0.08	0.5	0.7 C1
900504	2316	32.60	1-13.49	77-23.13	4.46	1.39	10	123	3.1	0.06	0.2	0.4 B1
900504	2325	16.03	1-13.53	77-23.07	3.62	1.45	10	126	3.0	0.09	0.3	0.6 B1
900504	2325	33.95	1-13.47	77-23.09	3.70	1.67	10	128	3.0	0.07	0.2	0.4 B1
900504	2326	54.57	1-13.08	77-23.11	4.11	1.54	10	142	2.7	0.09	0.4	0.6 B1
900504	2331	1.28	1-12.04	77-22.35	4.22	0.65	6	303	1.2	0.05	0.6	0.4 C1
900504	2331	8.21	1-13.31	77-23.10	3.81	1.12	8	189	2.3	0.05	0.4	0.4 C1
900504	2332	7.03	1-12.74	77-23.11	3.81	1.33	8	168	2.6	0.10	0.7	0.7 B1
900505	042	46.09	1-12.65	77-21.91	3.57	1.53	10	132	0.3	0.09	0.4	0.4 B1
900505	1 3	53.15	1-11.46	77-24.95	6.00	1.54	8	213	4.3	0.06	0.8	0.6 C1
900505	153	38.95	1-13.50	77-22.99	3.90	1.81	10	126	2.8	0.10	0.3	0.6 B1
900505	213	23.85	1-12.74	77-23.14	3.92	1.59	8	163	2.6	0.08	0.6	0.6 B1
900505	324	21.76	1-13.73	77-22.93	4.04	2.09	10	125	3.1	0.11	0.4	0.7 B1
900505	325	28.72	1-13.17	77-23.23	4.34	1.27	8	184	3.0	0.11	0.8	0.9 C1
900505	326	35.54	1-13.44	77-23.11	3.63	1.36	10	129	3.0	0.09	0.3	0.6 B1
900505	340	18.23	1-13.24	77-23.17	3.52	1.35	8	137	2.9	0.10	0.7	0.7 C1
900505	441	0.08	1-13.60	77-23.10	3.40	1.34	10	125	3.1	0.08	0.2	0.5 B1
900505	441	9.69	1-13.67	77-23.06	3.55	1.35	10	125	3.1	0.06	0.2	0.4 B1
900505	541	59.59	1-13.62	77-23.09	3.49	1.47	10	124	3.1	0.08	0.2	0.5 B1
900505	543	22.77	1-13.18	77-23.15	3.03	1.19	8	134	2.8	0.07	0.5	0.5 C1
900505	7 9	1.01	1-12.84	77-21.82	3.34	1.61	10	118	0.4	0.10	0.3	0.4 B1
900505	926	45.46	1-13.10	77-22.93	4.65	1.43	10	138	2.5	0.14	0.5	0.9 B1
900505	10 1	40.46	1-13.40	77-23.17	3.48	1.22	10	131	3.0	0.05	0.2	0.4 B1
900505	1049	25.76	1-13.17	77-23.03	2.94	1.23	10	137	2.7	0.13	0.4	0.9 B1
900506	218	9.77	1-13.45	77-23.13	3.35	1.50	9	129	3.0	0.07	0.3	0.5 B1
900506	543	38.57	1-12.74	77-23.13	3.25	1.48	8	168	2.6	0.08	0.5	0.6 B1
900506	626	26.47	1-10.73	77-21.56	1.65	1.57	6	243	1.7	0.00	0.0	0.0 C1
900506	1052	59.07	1-13.10	77-22.08	2.92	1.23	6	303	1.1	0.03	0.3	0.2 C1
900510	19 6	13.75	1- 9.87	77-21.63	1.56	1.13	6	272	3.1	0.12	0.8	1.7 C1
900511	3 7	44.05	1-13.04	77-23.47	2.92	1.43	10	145	2.3	0.05	0.2	0.4 B1
900511	958	51.57	1-13.32	77-22.44	2.72	1.31	6	324	1.8	0.04	0.2	0.3 B1
900511	1191	38.30	1-13.05	77-22.98	4.66	1.26	10	140	2.6	0.13	0.3	0.9 B1
900511	1242	26.82	1-12.74	77-23.12	3.79	1.23	8	168	2.6	0.08	0.7	0.6 B1
900511	17 9	50.2	1- 9.02	77-21.97	2.75	1.47	7	126	7	0.04	0.3	0.2 B1

CONTINUACION TABLA 1.

DATE	ORIGIN	LAT N	LONG W	DEPTH	MAG	NO	GAP	DMIN	RMS	ERH	ERZ	QM	
900514	1323	29.83	1-12.96	77-22.06	3.94	1.35	8	127	0.9	0.08	0.4	0.5 B1	
900514	1549	26.71	1-11.59	77-20.66	3.74	1.90	11	214	0.6	0.11	0.5	0.5 C1	
900517	253	26.14	1-13.57	77-23.08	2.86	1.36	8	136	3.1	0.02	0.1	0.2 B1	
900517	1316	33.44	1-13.14	77-22.13	3.00	1.42	8	123	1.2	0.06	0.3	0.6 B1	
900517	253	26.18	1-13.44	77-23.13	2.79	1.37	8	142	3.0	0.02	0.1	0.2 B1	
900517	659	24.38	1-13.16	77-22.99	4.17	1.13	8	154	2.5	0.05	0.3	0.5 B1	
900518	19	7	25.70	1-12.00	77-20.39	3.62	1.25	6	224	1.5	0.02	0.2	0.2 C1
900520	552	1.58	1-13.14	77-22.28	2.08	1.59	6	126	1.4	0.10	0.6	1.2 B1	
900525	2135	4.11	1-10.60	77-21.66	1.54	1.50	8	246	2.0	0.08	0.4	0.8 C1	
900525	22	9	7.56	1-12.20	77-21.34	2.87	1.18	8	128	1.1	0.05	0.2	0.2 B1
900526	1522	20.67	1-12.29	77-23.97	3.11	1.33	6	176	4.2	0.04	0.5	0.8 B1	
900528	4	3	39.11	1-13.36	77-22.70	3.88	1.48	10	127	2.2	0.08	0.3	0.5 B1
900528	830	27.79	1-13.15	77-22.86	3.75	1.44	10	135	2.3	0.08	0.3	0.4 B1	
900528	1059	35.11	1-13.05	77-22.11	2.45	1.17	8	177	1.0	0.03	0.1	0.1 B1	
900529	626	53.28	1-13.20	77-23.25	4.49	1.31	10	138	3.0	0.10	0.3	0.7 B1	
900529	642	11.44	1-13.30	77-23.28	3.55	1.87	10	135	3.1	0.11	0.3	0.7 B1	
900529	643	33.45	1-13.31	77-23.15	4.80	1.36	10	133	2.9	0.10	0.3	0.6 B1	

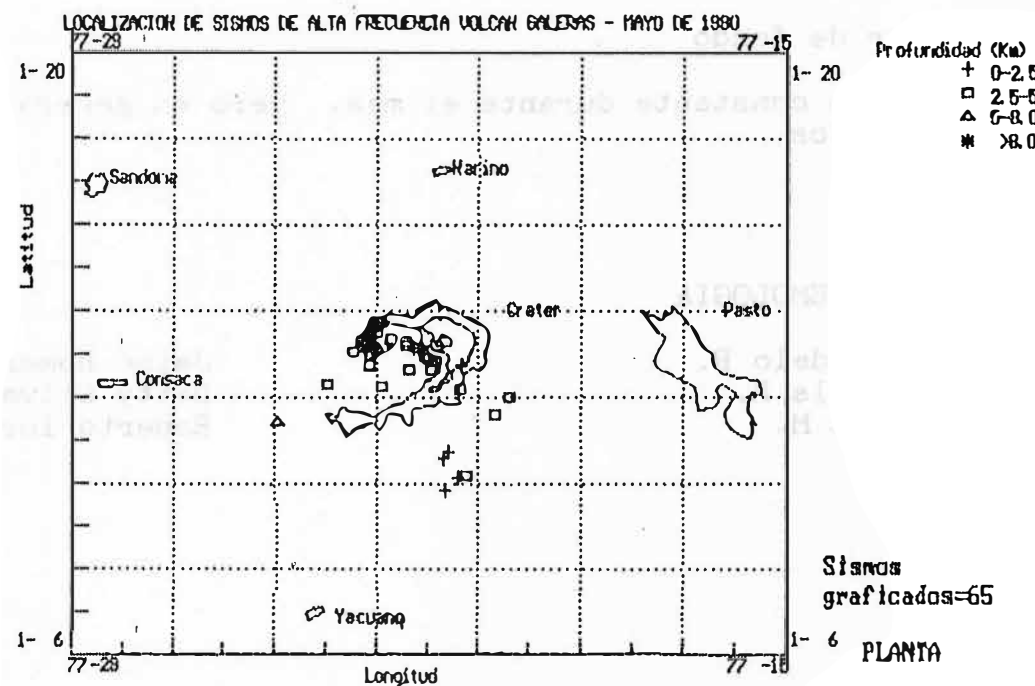


FIG. 10.—

profundidades que oscilaron entre 2.5 y 5.0 Km (Tabla 1), especialmente el enjambre ocurrido entre el 4 y 5 de mayo. El sismo de mayor energía en el mes se presentó el día 27 el cual tuvo una magnitud de 3 y fue sentido en los primeros kilómetros alrededor del volcán. Posteriormente se presentaron otros dos sismos fechados el 3 y 6 de junio con magnitudes de 3.05 y 3.2 respectivamente. Los tres fueron localizados en la misma zona y con profundidades similares a los descritos anteriormente.

TREMOR

1. Espasmódico

El número de pulsos de tremor se observa en la fig. 11, siendo los días 11, 20 y 24 los de mayor ocurrencia. El período dominante del tremor osciló entre 0.20 y 0.40 seg. (Fig 12) Los valores de desplazamiento reducido no superaron los 8 cm² (Fig 13).

2. Tremor de fondo

Se mantuvo constante durante el mes, pero en general en valores bajos.

GRUPO DE SISMOLOGIA

Adriana Agudelo R.
Monica Arcila R.
Diego Gomez M.

Jaime Romero L.
Betty Silva P.
Roberto Torres C.

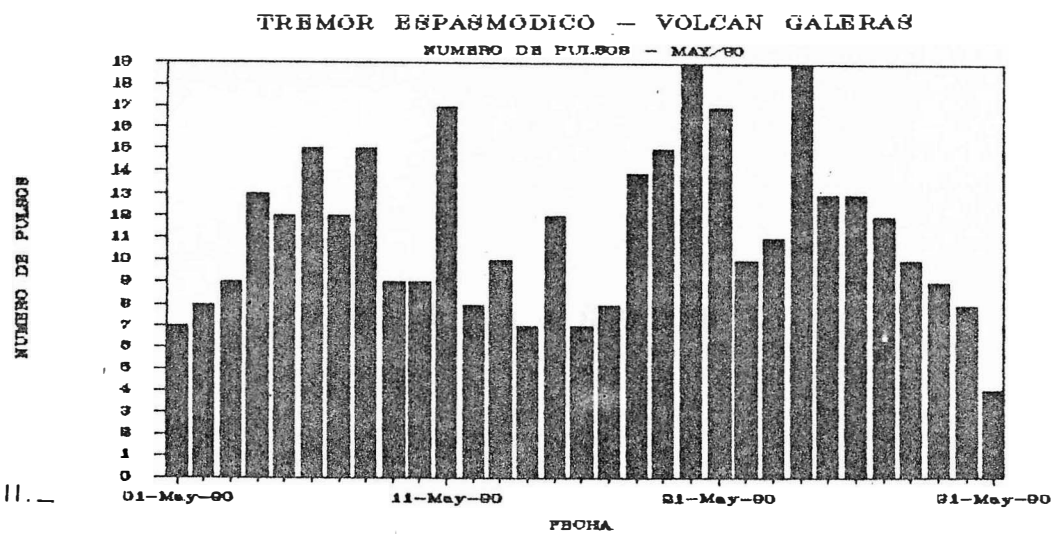


FIG. 11.—

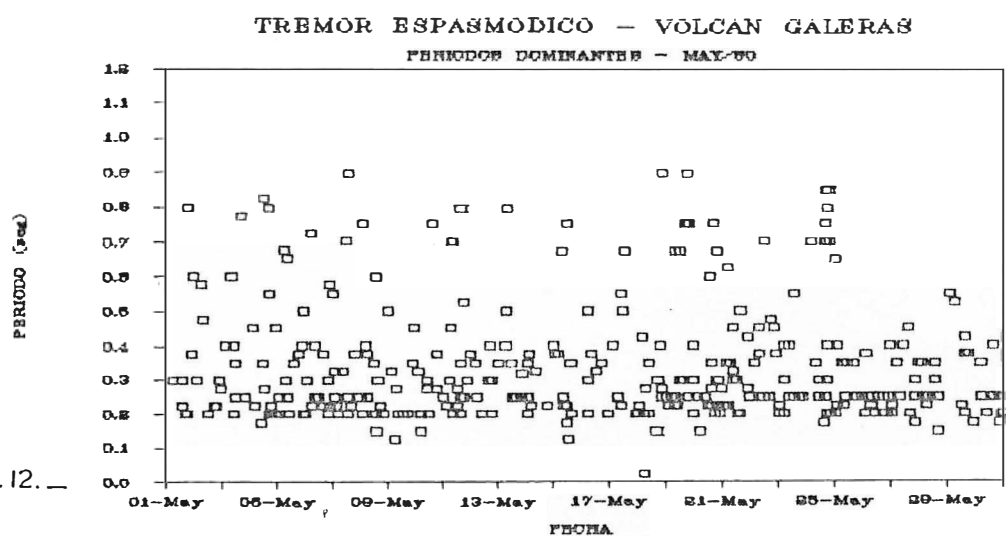


FIG. 12.—

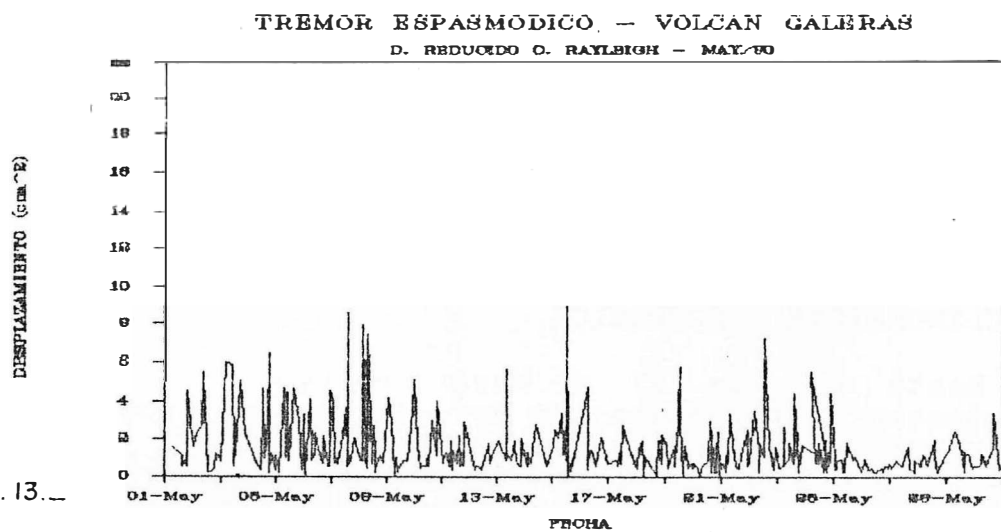


FIG. 13.—

D E F O R M A C I O N

VOLCAN NEVADO DEL RUIZ

RESUMEN

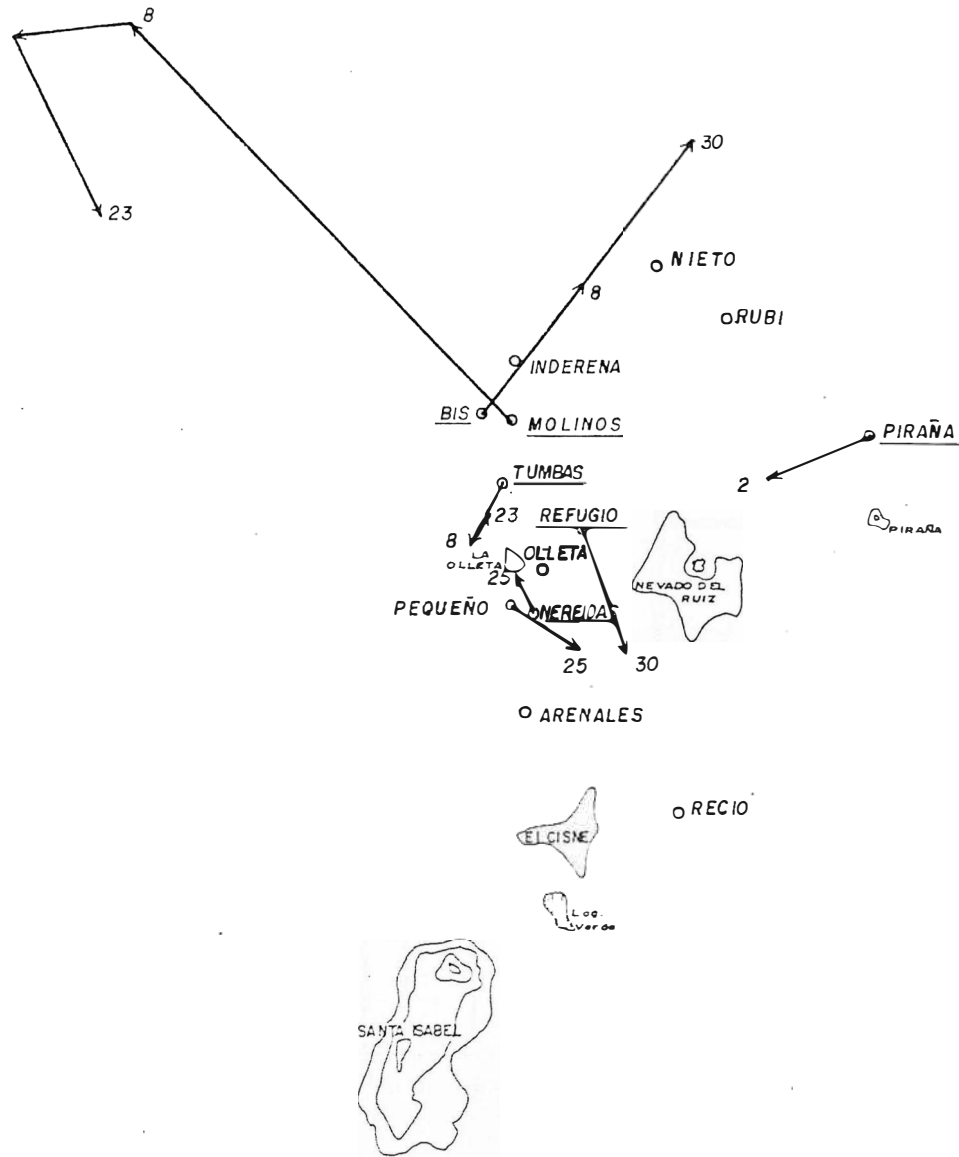
Los datos obtenidos por el método de Inclinometria Seca durante el mes de Mayo registraron cambios considerados bajos, es de anotar la tendencia de las estaciones Molinos y Bis. En cuanto a Inclinometria Electrónica se mantuvo en niveles bajos, El inclinómetro electrónico de Refugio solo se pudo calibrar hasta el dia 17.

1. INCLINOMETRIA SECA.

Se realizaron mediciones en las estaciones de Bis, Molinos, Nereidas, Pequeño, Refugio, Tumbas y Piraña las cuales presentaron cambios en un rango bajo exceptuando las estaciones de Bis y Molinos que mostraron cambios moderados, Fig.1. La estación Molinos para los datos obtenidos a mediados del mes presentó una tendencia a cruzarse sin lograrlo en sus componentes Norte y Este lo cual contrasta con la presencia de los Pulses de Trémor y la actividad Hidrotermal ya que el dia 15 se presento la mayor medida de SO₂ del mes de Mayo, ademas se registro el dia 11 una precipitación de 12 mm (la mayor del mes), mostrando un posible efecto de las lluvias sobre la deformación. La Fig. 2. muestra el vector Resultante para cada una de las estaciones.

2. INCLINOMETRIA ELECTRONICA.

Solo hasta el dia 17 de Mayo se pudo calibrar el Inclinómetro electrónico de Refugio en sus componentes Norte y Este alcanzando una gran estabilidad. La estación Recio en su componente Radial presenta estabilidad excepto por un salto entre las 9 y las 10 horas del dia 31 de Mayo el cual se asocia a un enjambre sísmico de alta frecuencia que presentó simultáneamente Ver Fig. 3.



0 5 10 15 MICRORADIANS
ESC. GRAFICA

INGEOMINAS				
OBSERVATORIO VULCANOLOGICO DE COLOMBIA				
INCLINOMETRIA SECA				
VECTOR INFLACION				
Autor: Grupo de Deformación			Dibujo Clara Ines Restrepo V.	
2	1	0	1	2 Km
MAYO/90 Fig. 1 de 3				

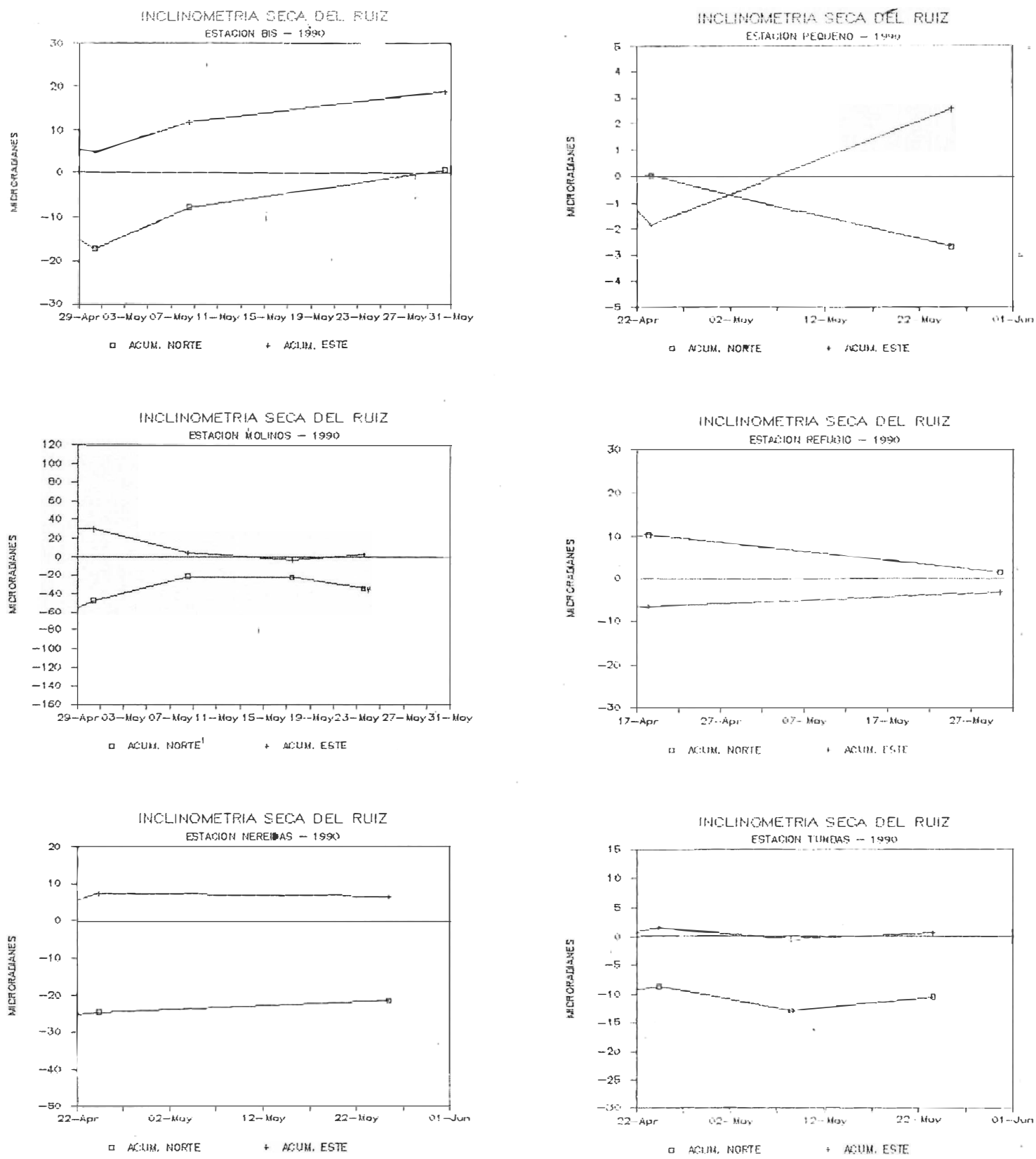
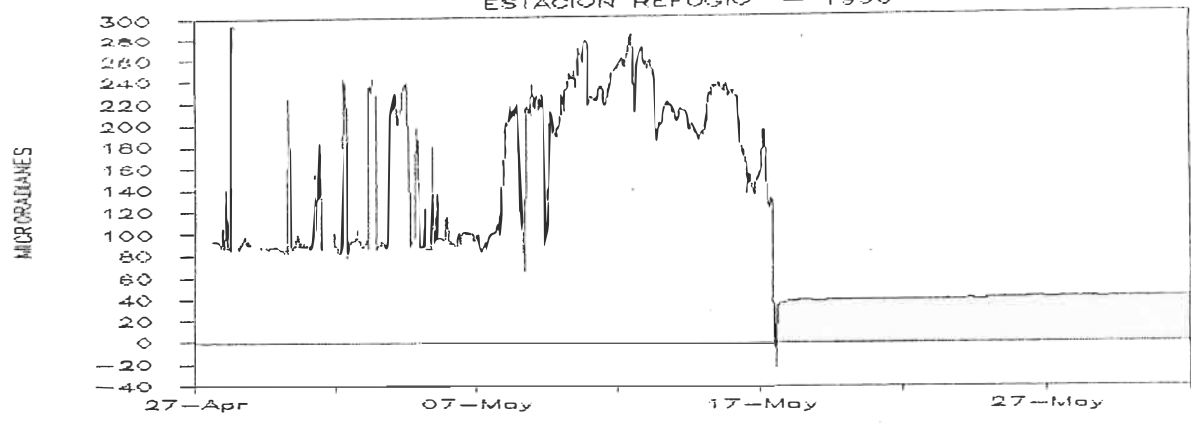
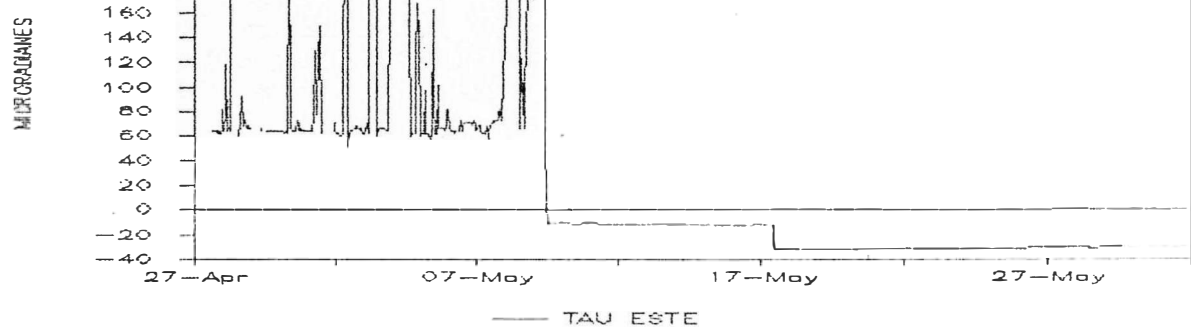


FIG. 2 . .

INCLINOMETRIA ELECTRONICA DEL RUIZ
ESTACION REFUGIO — 1990



INCLINOMETRIA ELECTRONICA DEL RUIZ
ESTACION REFUGIO — 1990



INCLINOMETRIA ELECTRONICA DEL RUIZ
ESTACION RECIO — 1990

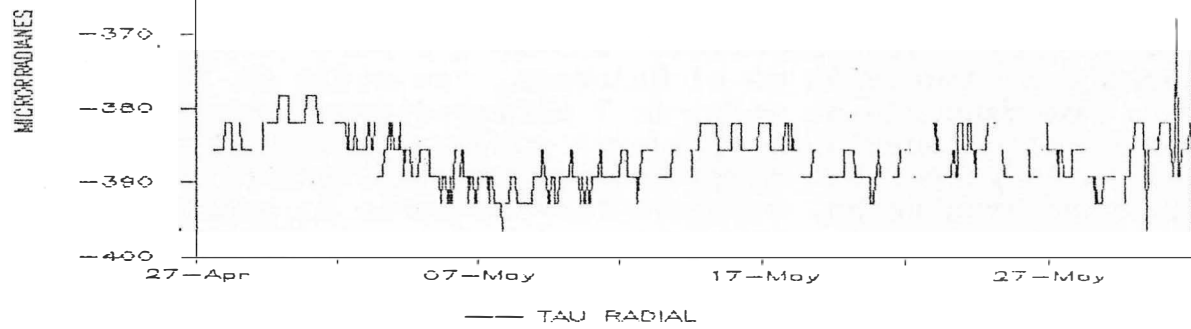


FIG. 3. —

D E F O R M A C I O N

VOLCAN GALERAS

RESUMEN

Para este mes las medidas de inclinometría seca no mostraron cambios significativos, a excepción de un valor de 19 microradianes que se presentó en la estación de el Calabozo. Este comportamiento es muy típico en esta estación y casi siempre obedece a la influencia del régimen de lluvias sobre la zona. En los vectores cortos de nivelación ocupados no se presentaron valores importantes de deformación.

En cuanto a inclinometria electrónica se refiere, se presentaron una serie de saltos en ambos inclinómetros, siendo estos correlacionables en gran parte con la actividad sísmica observada, aunque no de una forma muy clara.

1. INCLINOMETRIA SECA

Se midieron las tres estaciones de incliseca para un total de 5 ocupaciones. El valor que se presentó en el Calabozo se puede correlacionar más con las características físicas del suelo en donde está la estación que con la actividad volcánica, pero es importante anotar que para el dia siguiente a la ocupación de el Calabozo, se midió en las Truchas, presentando un valor de 7 microradianes con una tendencia deflacionaria en el vector resultante, totalmente opuesta a la presentada en el Calabozo (ver figura 1); Además, para esta fecha, se presentan una serie de eventos de largo periodo y de alta frecuencia que posiblemente tienen relación con los picos presentados en los inclinómetros electrónicos. En la figura 2 se ilustran los acumulados Norte y Este para las estaciones de seca, observándose valores bajos en los acumulados.

Para tratar de confirmar los fenómenos que se vienen

sucediendo en la estación de el Calabozo, se propone la construcción de piezómetros cerca a la estación. Este sistema nos servirá para comenzar a identificar las características del suelo y localizar los diferentes niveles freáticos que se suceden en el sitio. Con estos valores podremos correlacionar y descartar, cuándo las deformaciones son producto del régimen de lluvias o de actividad volcánica.

2. INCLINOMETRIA ELECTRONICA.

Entre los días 6, 7, 8 y 9 se presentan una serie de picos en ambas componentes de el inclinómetro de Peladitos, los cuales oscilan entre 1 y 5 microradianes (ver figura 3). En la componente Tangencial la tendencia es inflacionaria mientras que en la Radial la tendencia es deflacionaria.

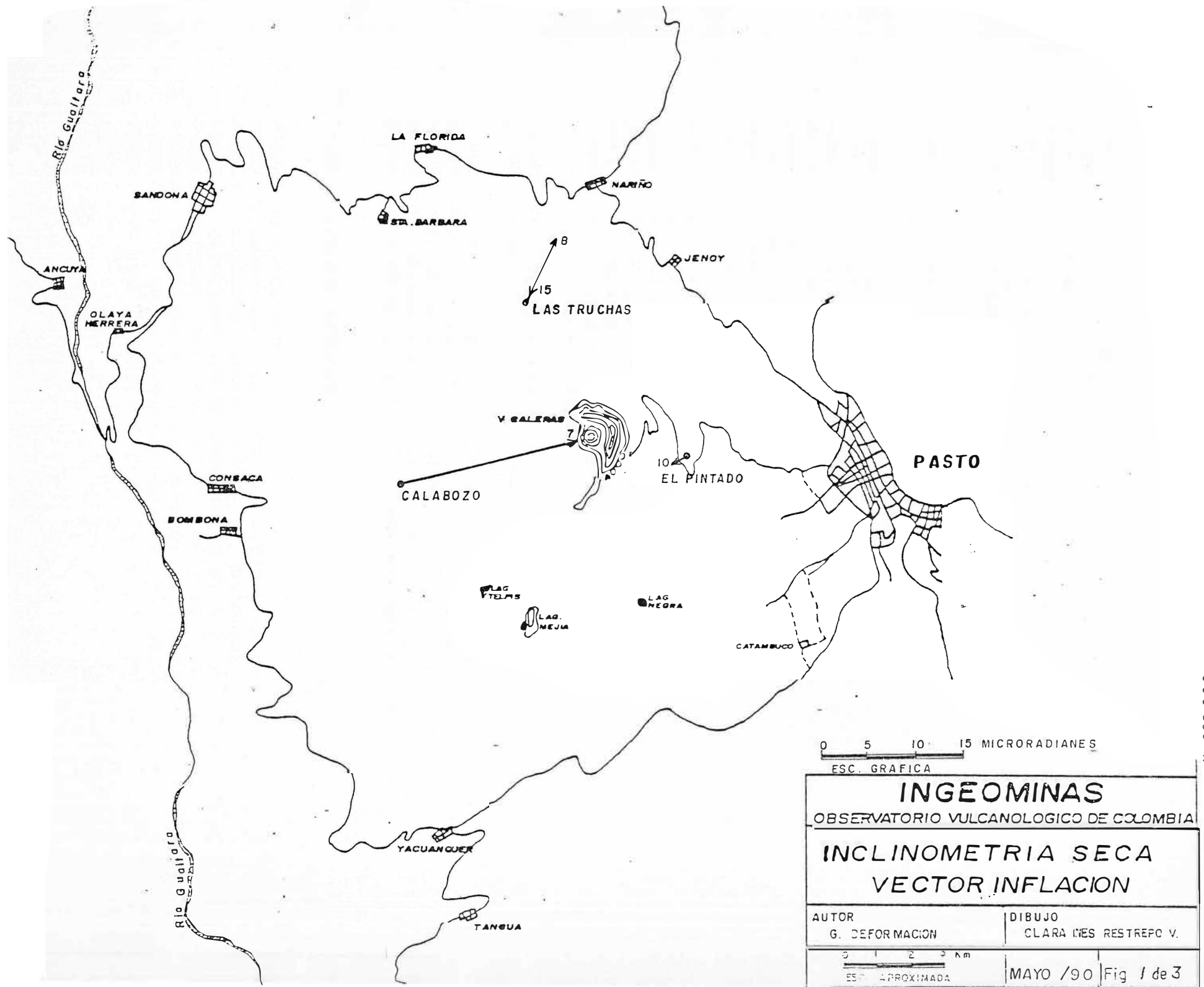
El comportamiento presentado en el inclinómetro de Telecom es muy similar al presentado en Peladitos (ver figura 3).

La componente Radial comienza con un descenso (deflación), luego se recupera y le sigue un ascenso (inflación) con valores bastante superiores a los presentados en Peladitos. La componente Tangencial solamente registra una tendencia inflacionaria para luego volver a los niveles iniciales; El valor de este incremento es similar al registrado por la componente Radial.

Esta actividad presentada por los inclinómetros se asoció a una serie de eventos de largo período y eventos de alta frecuencia registrados entre los días 6,7, 8 y 9 . Para el día 6 los LP se presentan antes y después del máximo pico presentado en Peladitos. Se observó que estos eventos disminuyeron al caer la gráfica a sus niveles iniciales. Para el día 9 a las 02horas 05 minutos, se presenta un evento de alta frecuencia con una duración de 10 segundos y una amplitud de 3,5 mm pico a pico, evento que coincide con los cambios que registran las dos componentes de Peladitos.

Es importante anotar que las diferencias en los valores que registran los dos inclinómetros se debe aparentemente a las características del sitio en donde se encuentra el inclinómetro de Telecom, las cuales se ven afectadas por la humedad del sitio. Al momento de redactar este informe, este inclinómetro se encuentra localizado sobre otro sector del volcán y se espera un comportamiento muy similar al registrado por Peladitos.

X = 1.640.000



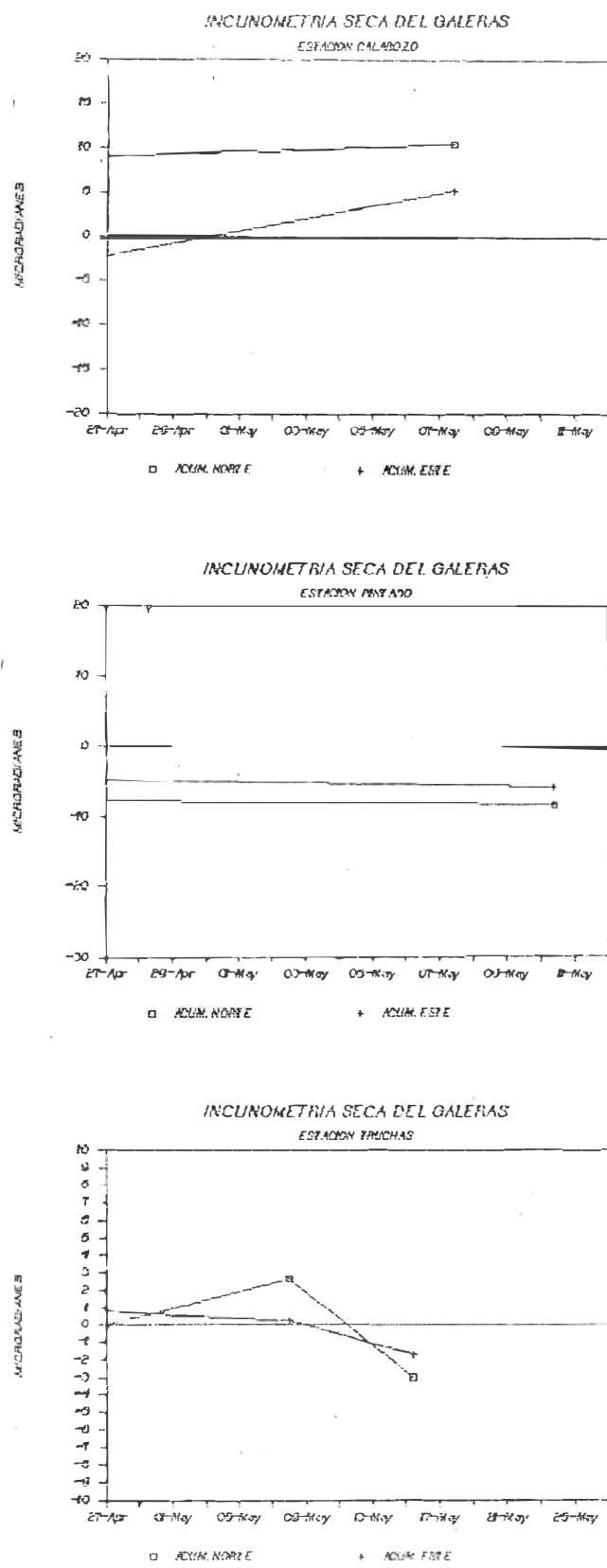


FIG. 2. —

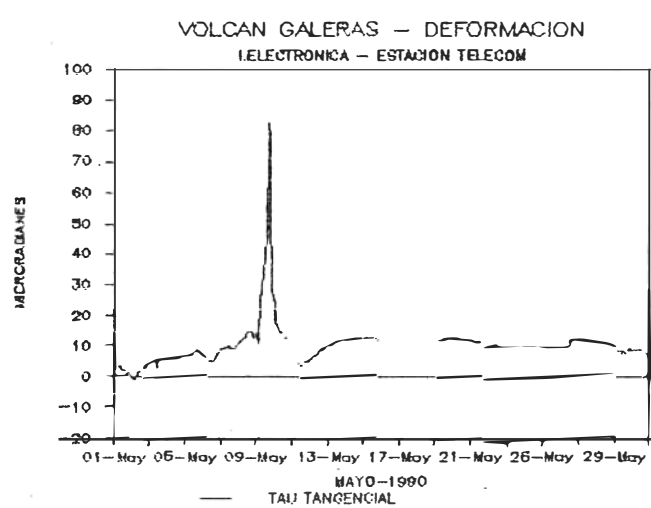
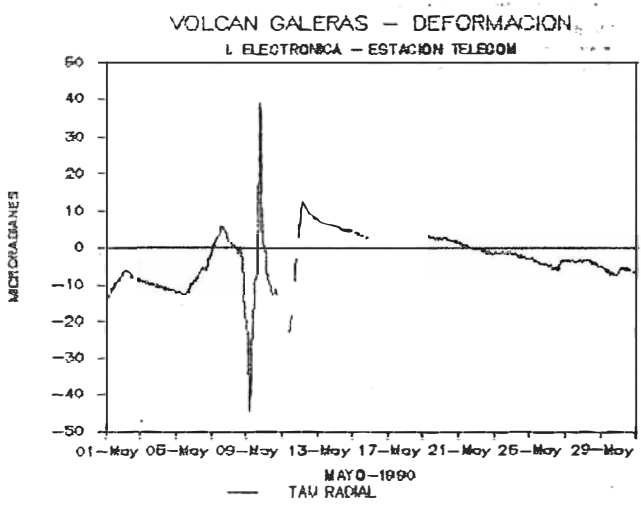
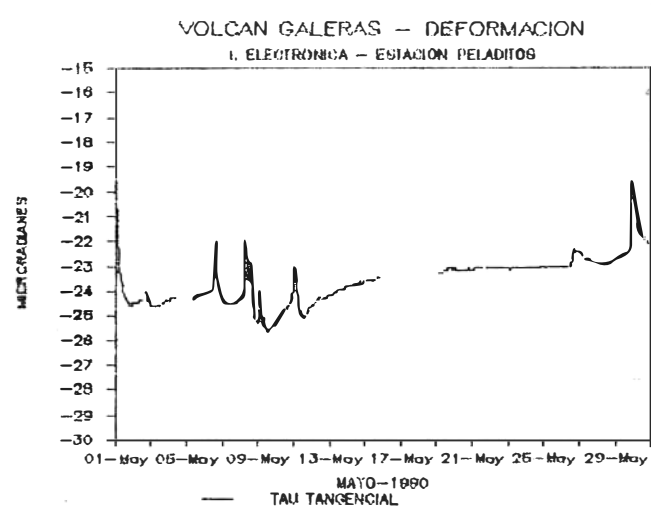
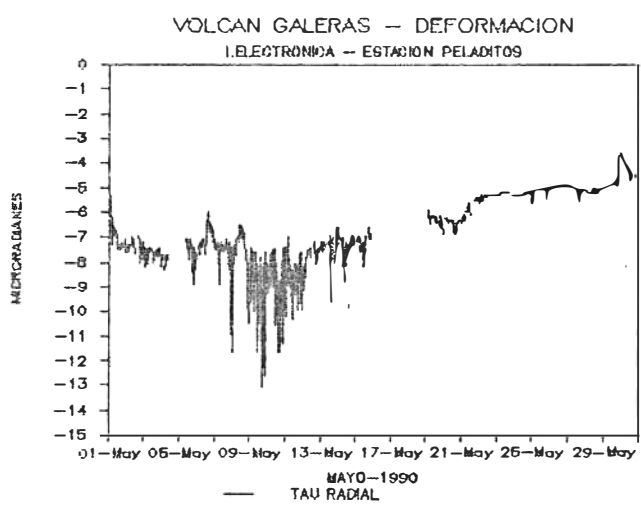


FIG. 3.

GEOLOGIA - GEOQUIMICA

COSPEC

Dadas a la variable actividad sismica del volcán Nevado del Ruiz y la baja actividad del volcán Galeras se mantuvo durante todo el mes de mayo el COSPEC en la ciudad de Manizales para realizar las medidas pertinentes, pudiendose llevar a cabo 11 medidas, cuyos resultados son los siguientes:

FEC.	TON / DIA viento medido	Ton / dia viento estandar
1/5/80	1519	547
2/5/80	659	741
3/5/80	2017	215
4/5/80	1030	517
5/5/80	1030	517
6/5/80	1030	517
7/5/80	1030	517
8/5/80	1030	517
9/5/80	1030	517
10/5/80	400	323

Obteniendose un promedio con viento medido de 1519 ton / dia y un promedio con viento estandar (1 m/sec) de 547 ton / dia marcandose un ligero incremento respecto a las medidas obtenidas en el mes anterior pero nivelandose a las registradas en los primeros meses del año.

Las 11 ciudades del viento han sido las mayores en lo que va corrido del año ya que se lograron obtener valores hasta de casi 9 m/sec.

CAJAS JAPONESAS

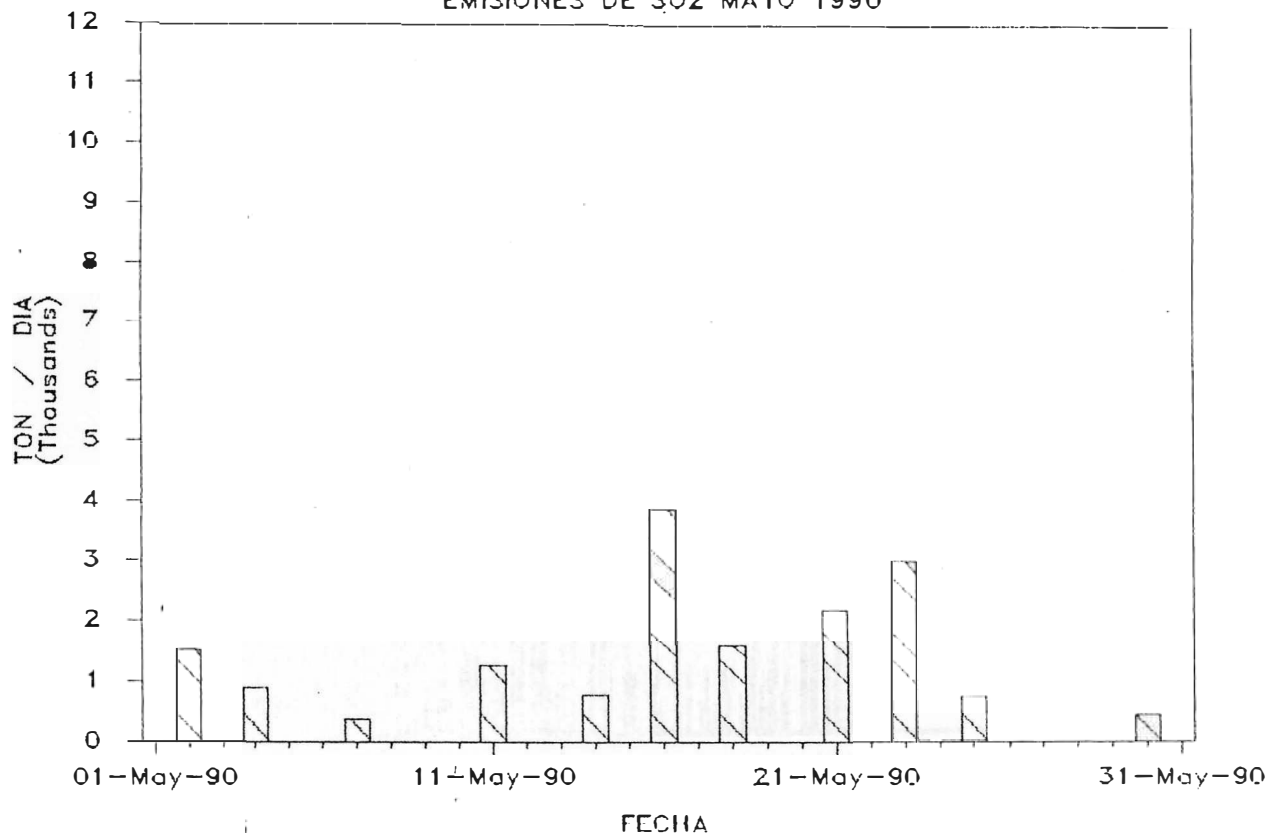
continua con el cambio de las soluciones de KOH y las muestras tomadas se encuentran en proceso de análisis, esperamos conocer estos resultados para la ubicación de dos nuevas cajas que nos permitan obtener un mejor cuorrimiento del área de influencia de la columna de vapor.

CENIZAS

Durante este mes se reportaron caídas de cenizas los días 5, 6, 8, 12, 14, 17 y 24, preferencialmente hacia los sectores N-NW-W del volcán, de las cuales la mayor distancia reportada fu la del dia 14 cuando fu percibida en la ciudad de Manizales y dentro de un rango de tiempo comprendido entre las 11:30 y las 15:30 (hora local) se obtuvo una cantidad promedio de caída estimada en 0,49 gr / m².

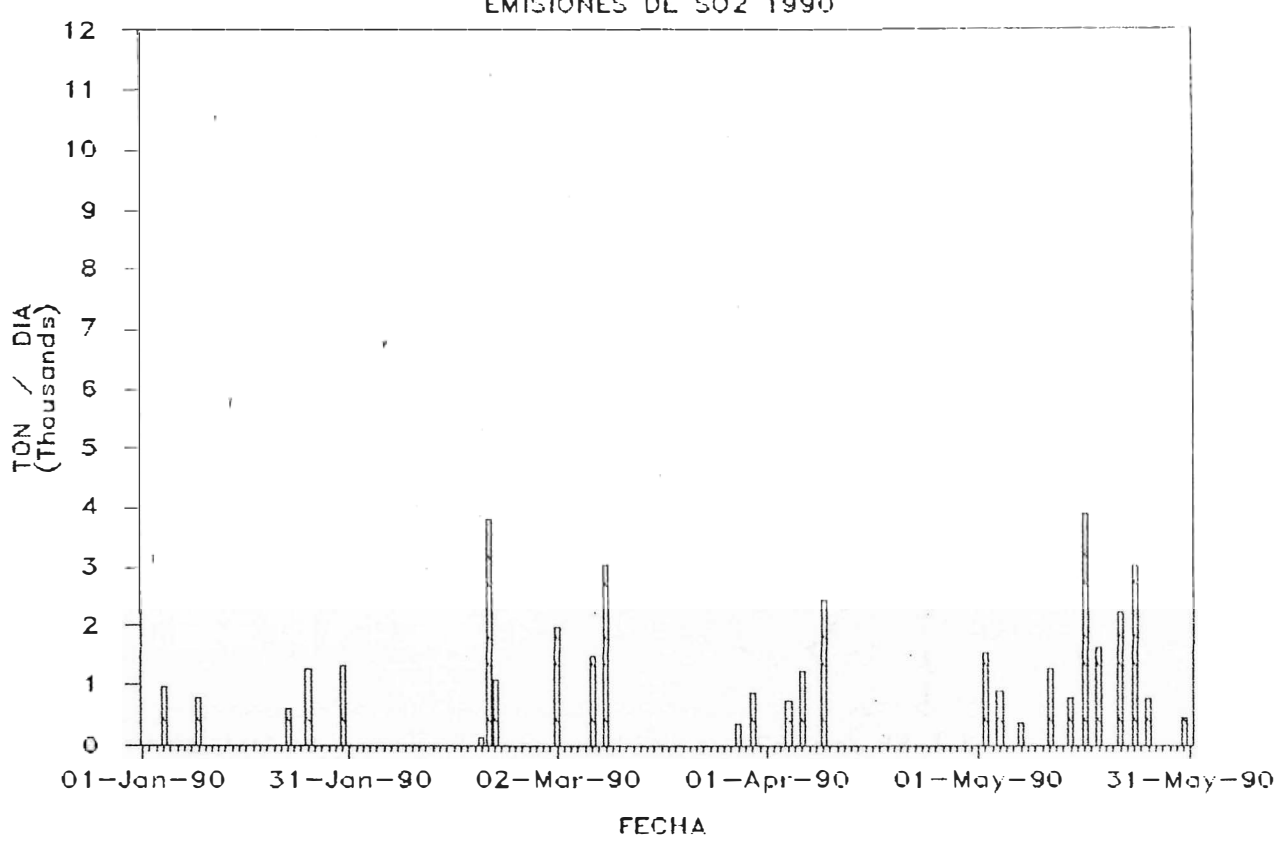
VOLCAN NEVADO DEL RUIZ

EMISIONES DE SO₂ MAYO 1990



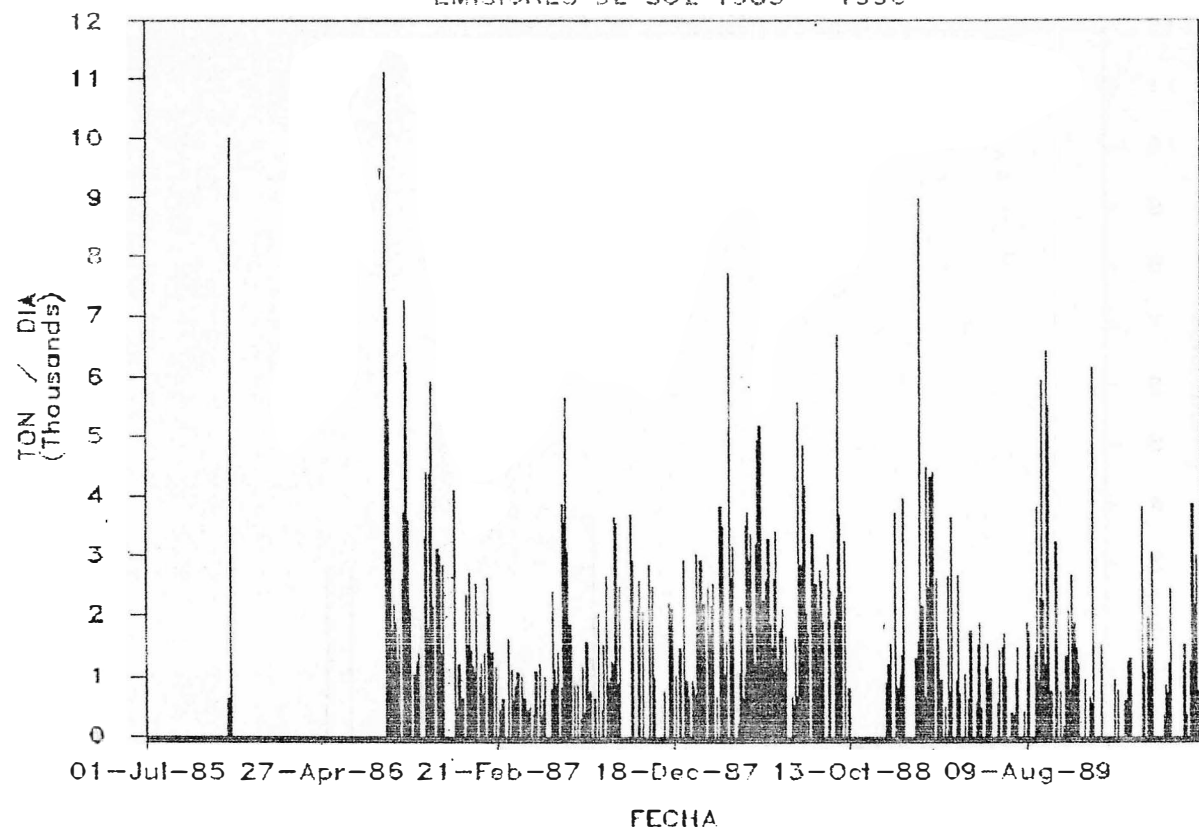
VOLCAN NEVADO DEL RUIZ

EMISIONES DE SO₂ 1990



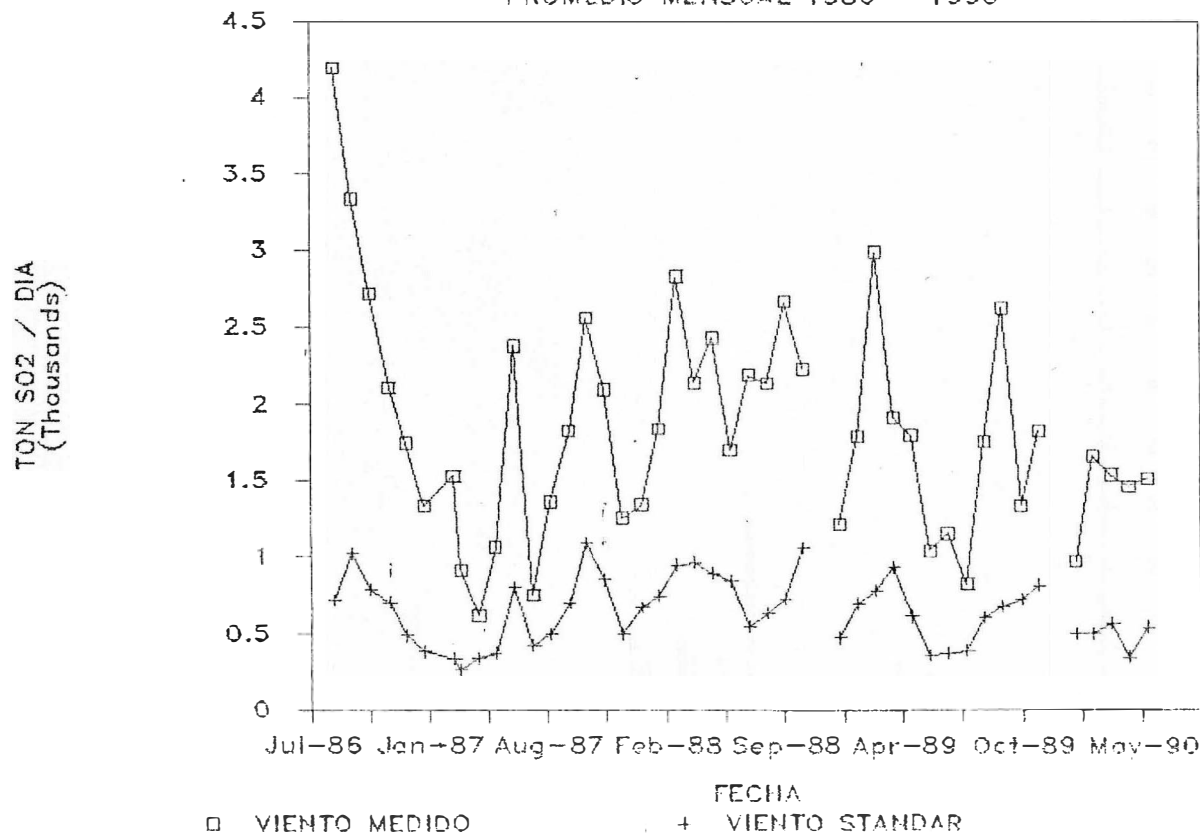
VOLCAN NEVADO DEL RUIZ

EMISIONES DE SO₂ 1985 – 1990



EMISIONES DE SO₂ NEVADO DEL RUIZ

PROMEDIO MENSUAL 1986 – 1990



GEOQUIMICA - VOLCAN GALERAS

Durante el mes de Mayo no se realizaron medidas de SO₂ por el metodo COSPEC, debido a la necesidad de disponer el aparato para el monitoreo del Volcán Nevado del Ruiz.

Los días 3 y 23 de este mes, se realizaron muestreos de gases por los medios de GIGGENBACH y CAJAS JAPONESAS. Los resultados obtenidos para las primeras muestras indican una leve disminución en las concentraciones de SO₂, CO₂, H₂S y HCl, para las cajas Japonesas numero 1 y 2, localizadas hacia el Noreste del cráter principal, mientras que aumenta en la Caja Japonesa No. 4 localizada al Sureste de dicho cráter.

Las muestras obtenidas por el metodo de Botellas de Giggenbach, muestran valores similares a los de los meses anteriores.

CAJAS JAPONESAS (% Molar).

NUMERO	H ₂ S	SO ₂	HCl	CO ₂
1	0.21	10.38	0.84	88.09
2	0.46	8.10	1.40	90.04
3	9.70	21.23	1.65	67.42
4	4.63	18.00	1.57	75.80
5	0.03	0.39	0.19	93.39
6	--	0.21	0.21	99.58

BOTELLAS DE GIGGENBACH (% Molar).

FUMAROLA	H ₂ S	SO ₂	HCl	CO ₂
Calvache	11.21	45.95	--	42.84
Deformes	10.32	35.29	10.43	43.96

Debido a las malas condiciones atmosféricas que predominaron durante todo el mes, no fue posible efectuar observaciones en la parte alta del cráter.

GRUPO DE GEOQUIMICA

Jose Arles Zapata G.
Claudia Maria Alfaro V.

A CONTINUACION SE PRESENTA LA LISTA DE ESTUDIANTES QUE HAN ESTADO VINCULADOS PERMANENTEMENTE CON EL OBSERVATORIO VULCANOLOGICO DE COLOMBIA Y CUYO TRABAJO HA TENIDO UN INMENSO VALOR EN LOS DIFERENTES FRENTE DE INVESTIGACION

GRUPO DE SISMOLOGIA

Estudiantes de la Universidad de Caldas

Hugo Fernando Ballesteros
Lipaniel Cesas Ospina
Herman Tulio Garcia
Carlos Alberto Gonzalez
Jose Mario Martinez
Juan Manuel Ruano
Margarita E. Ochoa R.
Carlos Alberto Vargas

GRUPO DE GEOLOGIA

Hernan Tadeo Valencia